МИНИСТЕРСТВО ОБРАЗОВАНИЯ И НАУКИ РОССИЙСКОЙ ФЕДЕРАЦИИ

федеральное государственное бюджетное образовательное учреждение высшего образования

«Тольяттинский государственный университет» Институт машиностроения

Кафедра «Оборудование и технологии машиностроительного производства» Направление 15.03.05 «Конструкторско-технологическое обеспечение машиностроительных производств» Профиль «Технология машиностроения»

ВЫПУСКНАЯ КВАЛИФИКАЦИОННАЯ РАБОТА (БАКАЛАВРСКАЯ РАБОТА)

И.о. заведующего кафед к.т.н, доцент	рой	А.В. Бобровский
	Допустить к защите	
	(И.О. Фамилия)	(личная подпись)
	Виткалов В.Г.	(личная подпись)
	Зубкова Н.В.	(личная подпись)
	(И.О. Фамилия)	(личная подпись)
Консультанты	(И.О. Фамилия) Горина Л.Н.	(личная подпись)
Руководитель	Логинов Н.Ю.	
	(И.О. Фамилия)	(личная подпись)
Студент(ка)	Хижняков Я.А.	

Тольятти 2016

МИНИСТЕРСТВО ОБРАЗОВАНИЯ И НАУКИ РОССИЙСКОЙ ФЕДЕРАЦИИ

федеральное государственное бюджетное образовательное учреждение высшего образования «Тольяттинский государственный университет»

Институт машиностроения Кафедра «Оборудование и технологии машиностроительного производства»

УТВЕРЖДАЮ

И.о. зав. кафедрой			А.В.Бобровский
	«	>>	2016 г

ЗАДАНИЕ

на выполнение выпускной квалификационной работы (уровень бакалавра)

направление подготовки 15.03.05 «Конструкторско-технологическое обеспечение машиностроительных производств»

профиль «Технология машиностроения»

Студент	Хижняков Яков А	лексеевич		гр.	ТМбз-1	131
1. Тема	<u>Технологический</u>	процесс	изготовления	вала	привода	ленточного
конвейера	· · · · · · · · · · · · · · · · · · ·					
2. Срок сдачи	студентом законченной вы	пускной кв	алификационной	работы	«»	_ 2016 г.
	данные к выпускной ква отеж детали программа вь	•	•	мап	периалы пр	реддипломной
4. Содержани	е выпускной квалификацио	нной работ	ы (объем 40-60 с.)		
Титульный ли	ист.					
Задание. Анно	отация. Содержание.					
Введение, цел	ь работы					
1) Описание и	исходных данных					
2) Технологич	еская часть работы					
3) Проектиро	ование станочного приспосо	бления				
4) Проектиро	ование режущего инструмен	нта				
5) Безопаснос	сть и экологичность технич	еского объ	екта			
6) Экономиче	ская эффективность рабоп	пы				
Заключение. (Список используемой литеро	атуры.				
Приложения:	технологическая документ	ация				

КИДАТОННА

Выпускная квалификационная работа направлена на разработку технологического процесса изготовления вала привода ленточного Выполнено конвейера. оснащение техпроцесса современными В работе технологическими средствами. спроектировано усовершенствованное зажимное устройство. Разработана конструкция круглой протяжки для протяжной операции. Техпроцесс сопровождается технологической документацией.

Работа состоит из страниц расчетно-пояснительной записки. Графическая часть работы составляет 7 листов формата A1.

СОДЕРЖАНИЕ

	Стр
РИДИТИТЕТ В 1 В 1 В 1 В 1 В 1 В 1 В 1 В 1 В 1 В 	3
ВВЕДЕНИЕ, ЦЕЛЬ РАБОТЫ	6
1 ОПИСАНИЕ ИСХОДНЫХ ДАННЫХ	8
1.1 Назначение и условия работы детали	8
1.2 Систематизация поверхностей детали	8
1.3 Анализ требований к поверхностям детали	9
1.4 Формулировка задач работы	10
2 ТЕХНОЛОГИЧЕСКАЯ ЧАСТЬ РАБОТЫ	12
2.1 Определение типа производства	12
2.2 Выбор стратегии разработки техпроцесса	12
2.3 Выбор метода получения заготовки	13
2.4 Выбор методов обработки поверхностей	16
2.5 Определение припусков	17
2.6 Проектирование заготовки	22
2.7 Разработка технологического маршрута	24
2.8 Выбор средств технологического оснащения	27
2.9 Расчёт режимов обработки	34
3 ПРОЕКТИРОВАНИЕ СТАНОЧНОГО ПРИСПОСОБЛЕНИЯ	64
3.1 Анализ конструкции базового приспособления и сущность	
усовершенствования	64
3.2 Расчёт усилий резания	64
3.3 Расчёт усилия зажима	65
3.4 Расчёт зажимного механизма клинового патрона	66
3.5 Расчёт силового привода	67
3.7 Описание конструкции патрона	68
4 ПРОЕКТИРОВАНИЕ РЕЖУЩЕГО ИНСТРУМЕНТА	70
4.1 Расчет режущей части протяжки	70

- 5 БЕЗОПАСНОСТЬ И ЭКОЛОГИЧНОСТЬ ТЕХНИЧЕСКОГО ОБЪЕКТА
- 6 ЭКОНОМИЧЕСКАЯ ЭФФЕКТИВНОСТЬ РАБОТЫ ЗАКЛЮЧЕНИЕ СПИСОК ИСПОЛЬЗУЕМОЙ ЛИТЕРАТУРЫ ПРИЛОЖЕНИЯ

ВВЕДЕНИЕ, ЦЕЛЬ РАБОТЫ

Технология обработки цилиндрических зубчатых колес зависит от количества факторов, основными из которых являются следующие. Форма цилиндрического колеса, влияющая выбор на оборудования и построение технологического процесса обработки заготовки, а также на выбор технологических баз. При отсутствии требований к точности и шероховатости поверхности выточек, особенно при крупносерийном производстве из штампованных заготовок, выточки не следует обрабатывать – их рекомендуется делать конусными. При мелкосерийном производстве по условиям эксплуатации выточки обрабатываются – их рекомендуется делать цилиндрическими, сопряженными с диском галтелями одного радиуса R, а с торцами венца и ступицы – фасками.

Форма и расположение зубчатого венца влияют на выбор метода обработки и установление технологических баз на этих операциях. Вследствие значительного удельного веса зубообработки в общей трудоемкости изготовления колес форма зубчатого венца является одним из основных показателей технологичности детали.

Форма зубьев (прямые или косые) не влияет на построение технологии обработки детали, а определяет выбор зубообрабатывающего оборудования, а иногда и типа инструмента. Параметры исходного контура зубьев, включая размеры фланкирования (срез головки зубьев), влияют только на выбор режущего инструмента, они нормируются ГОСТ 3058-95.

Габаритные размеры зубчатых колес влияют на размеры оборудования, на выбор типа зубообрабатывающих станков и инструментов, на достижимую точность обработки венца и способы установки колес на станках.

Масштабы производства влияют на выбор типа оборудования и на содержание отдельных операций и их оснащение, что определяет построение технологии обработки детали, особенно на этапе изготовления заготовки. Характер исходной заготовки (поковка, штамповки, прокат, отливка), зависящий от масштабов производства и размеров колеса, влияет на построение и трудоемкость первых операций изготовления заготовки.

Целью работы является разработка технологического процесса изготовления детали Вал привода с минимальными затратами, при осуществлении заданного качества обработки и количества деталей в год.

1 ОПИСАНИЕ ИСХОДНЫХ ДАННЫХ

1.1 Служебное назначение детали.

Вал привода ленточного конвейера предназначена для восприятия крутящего момента от электродвигателя через переходник боковыми поверхностями внутренних шлицов и передачи движения боковыми поверхностями зубьев наружного зубчатого венца.

1.2 Систематизация поверхностей детали.

Цель систематизации поверхностей детали — выявить, какие из них имеют определяющие значения для качественного выполнения деталью своего служебного назначения.

Исходя из служебного назначения детали, все ее поверхности можно классифицировать на исполнительные, основные конструкторские, вспомогательные конструкторские базы и свободные поверхности.

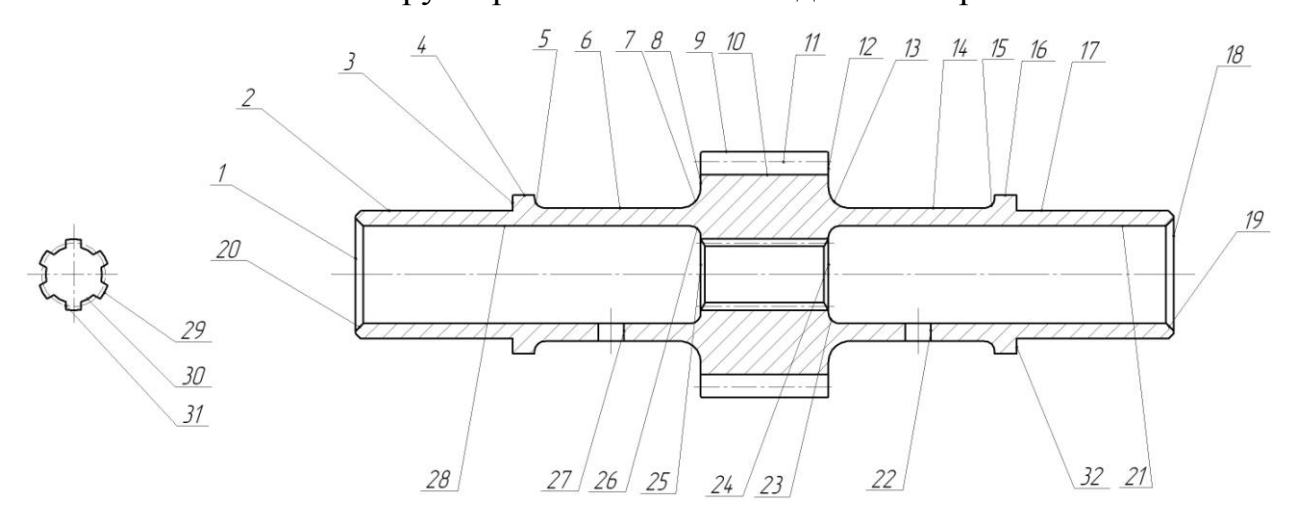


Рис. 1.1. Систематизация поверхностей

В таблице 1 приведена классификация поверхностей детали по служебному назначению.

Таблица 1.1 - Классификация поверхностей детали

No	Вид поверхности	№ поверхности
1	Исполнительные поверхности	11, 31
2	Основные конструкторские базы	2, 3
3	Вспомогательные конструкторские	17, 22, 27, 30, 32
	базы	
4	Свободные поверхности	остальные

1.3 Анализ требований к поверхностям детали.

Опираясь на данные [1] составим табл. 1.2 и 1.3, занеся в нее данные о материале детали.

Таблица 1.2 - Химический состав стали 19ХГН по ТУ 14-1-2252-90 (в %)

			не	боле	e			
Сталь	С	Cr	P	S	C	Mn	Ni	Si
					u			
19ХГ	0,17-	0,45-	0,033	5	0,	0,7-	1,0-	0,17-
Н	023	0,75			3	1,1	1,4	0,37

Сталь 19ХГН - среднелегированная

Легирующие элементы:

Ст (хром) - повышает твердость и коррозионостойкость;

Мп (марганец) - увеличивает твердость и износоустойчивость;

Ni (никель) - повышает прочность и пластичность.

Таблица 1.3 - Механические свойства стали 19ХГН по ТУ 14-1-2252-90.

Сталь	$\sigma_{\scriptscriptstyle \mathrm{T}}$	$Q^\mathtt{B}$	δ_5	Ψ
19ХГН	590	700	14	50

Эти физико-химические и механические свойства материала обеспечивают нормальную работу вала привода в узле. Материал не является дефицитным.

Заготовку можно получить как прокатом, так и штамповкой на ГКМ. В обоих случаях форма заготовки достаточно проста.

Точность и шероховатость рабочих поверхностей определяются условиями работы детали. Уменьшение точности приведет к снижению точности установки вал а привода в поворотном устройстве и надежности его работы. Увеличение шероховатости этих поверхностей приведет к снижению надежности сопряжений и интенсивному изнашиванию поверхностей.

Конструкция детали обеспечивает в целом свободный доступ инструмента в любом виде механической обработки к обрабатываемым поверхностям. Это позволяет в основном стандартный, а реже унифицированный тип инструмента.

Также форма расположения поверхностей детали обеспечивает свободный доступ к обрабатываемым поверхностям измерительных инструментов.

Проанализировав требования к поверхностям детали можно сделать вывод о достаточно высокой степени технологичности детали.

1.4. Формулировка задач работы.

Ha базе технических требований анализа К детали ОНЖОМ сформулировать следующие задачи выпускной работы, которые необходимо решить для достижения цели, сформулированной во введении – разработать технологический процесс изготовления детали - вал привода с минимальными затратами, при осуществлении заданного качества обработки.

Эти задачи, как правило, сводятся к следующим: [2]

- 1) Определить тип производства и выбрать стратегию разработки техпроцесса.
- 2) Выбрать оптимальный метод получения заготовки, рассчитать маршруты на обработку поверхностей.
- 3) Разработать технологический маршрут, выбрать схемы базирования заготовок и составить план обработки.
- 4) Выбрать средства технологического оснащения техпроцесса оборудование, приспособления, режущие и мерительные инструменты.
 - 5) Рассчитать припуски на обработку и спроектировать заготовку.
- 6) Разработать технологические операции определить их содержание, рассчитать режимы резания и нормы времени.

Решению этих задач посвящены следующие разделы выпускной квалификационной работы.

2 ТЕХНОЛОГИЧЕСКАЯ ЧАСТЬ РАБОТЫ

2.1 Определение типа производства.

Тип производства определяется в зависимости от годового объема выпуска и массы детали по таблице 2.1. [3]

Таблица 2.1 - Тип производства в зависимости от объема выпуска

Macc	Производство						
a	Единичн	Мелкосерий	Среднесерий	Крупносерий	Массов		
детал	oe	ное	ное	ное	oe		
И, КГ							
< 1,0	< 10	10-2000	1500-	75000-	>2000		
			100000	200000	00		
1,0-	< 10	10-1000	1000-	50000-	>1000		
2,5			50000	100000	00		
2,5-	<10	10-500	500-35000	35000-	>7500		
5,0				75000	0		
5,0-	< 10	10-300	300-25000	25000-	>5000		
10				50000	0		
> 10	<10	10-200	200-10000	10000-	>2500		
				25000	0		

Исходя из того, что годовой объем выпуска равен $N_{\scriptscriptstyle \Gamma} = 5000$ шт/год, а масса детали $m_{\scriptscriptstyle \rm J} = 0,53$ кг, то тип производства определяется как среднесерийное.

2.2 Выбор стратегии разработки технологического процесса.

Характеристика среднесерийного производства и соответственно выбранная стратегия разработки технологического процесса приведена в таблице 2.2. [4]

Таблица 2.2 - Характеристика среднесерийного производства

	i i		
Показатель ТП	Характеристика		
1. Форма организации ТП	переменно-поточная		
2. Повторяемость изделий	периодическое повторение партий		
3. Унификация ТП	разработка специальных ТП на базе типовых		
4. Заготовка	литье, штамповка		
5. Припуск на обработку	незначительный		
6. Оборудование	универсальное, отчасти специализированное		
7. Загрузка оборудования	периодическая смена деталей на станках		
8. Коэффициент закрепления операций	св.1 до 40		
9. Расстановка оборудования	с учетом характерного направления грузопотоков		
10. Квалификация рабочих	различная		

2.3 Выбор метода получения заготовки.

Метод получения заготовки определим в зависимости от свойств обрабатываемого материала, типа детали, сложности, типа производства. Согласно выбранной стратегии, определяем, что для данной детали целесообразно применить в качестве заготовки прокат или штамповку на ГКМ. Эти методы получения заготовок в одинаковой степени позволяют достичь заданной точности, однако себестоимости получения заготовок будут разными. Для окончательного выбора метода получения заготовки выполним сравнительный экономический анализ.

Таблица 2.3 - Исходные данные

Наименование показателей	Вариант 1	Вариант 2
Вид заготовки	Штамповка	Прокат
	на ГКМ	Ø52x164
Класс точности/сложности	4/2	-

Масса заготовки, кг	1,3	2,1
Стоимость 1 кг заготовок, принятых за	0,315	0,115
базу $C_{3аг}$, руб		
Стоимость 1 кг стружки Сотх, руб	0,0144	0,0144
Масса детали, кг	0,53	0,53

Определим стоимость срезания 1 кг стружки при механической обработке [5].

$$C_{\text{Mex}} = C_{c} + E_{H} \cdot C_{\kappa}, \tag{2.1}$$

где $E_{\scriptscriptstyle H}$ — нормальный коэффициент эффективности капитальных вложений;

 C_c – текущие затраты на 1 кг стружки, руб/кг;

 C_{κ} – капитальные затраты на 1 кг стружки, руб/кг.

Принимаем

 $C_c = 0,495$ руб/кг – для машиностроения в целом [6];

 $E_{H} = 0.15 [6];$

 $C_{\kappa} = 1,085$ руб/кг – для машиностроения в целом [6].

Тогда по формуле (2.1) имеем:

 $C_{i\tilde{a}\tilde{o}} = 0,495 + 0,15 \cdot 1,085 = 0,6578$ py6/kg.

Определяем стоимость 1 кг заготовки, полученной штамповкой [6].

$$\tilde{N}_{c\dot{a}\tilde{a}} = \tilde{N}_{\phi\dot{o}} \cdot k_{\dot{o}} \cdot k_{\dot{c}} \cdot k_{\dot{a}} \cdot k_{\dot{i}} \cdot k_{\dot{i}} , \qquad (2.2)$$

где $C_{\text{шт}}$ – базовая стоимость 1 кг штампованных заготовок, руб;

 $k_{\scriptscriptstyle T}$ – коэффициент, зависящий от класса точности;

 k_{c} - коэффициент, зависящий от группы сложности;

 $k_{\mbox{\tiny B}}$ - коэффициент, зависящий от массы заготовки;

 $k_{\scriptscriptstyle M}$ - коэффициент, зависящий от марки материала;

 k_{π} - коэффициент, зависящий от объема производства.

Принимаем

$$C_{\text{IIIT}} = 0.315 \text{ py6 [6]};$$

 $k_{\scriptscriptstyle T} = 0.9$ – для четвертого класса точности [6];

 $k_c = 0.84 -$ для второй группы сложности [6];

 $k_{\scriptscriptstyle B} = 1,14$ – для заготовки массой 1...2,5 кг [6];

 $k_{M} = 1.0 -$ для стали 19ХГН [6];

 $k_{\pi} = 1,0$ [6].

Тогда по формуле (2.2) имеем:

$$C_{c\dot{a}\ddot{a}} = 0.315 \cdot 0.9 \cdot 0.84 \cdot 1.14 \cdot 1.0 \cdot 1.0 = 0.2715$$
 pyб.

Далее определяем технологическую себестоимость изготовления детали, полученной штамповкой [6].

$$C_{mu} = C_{3az} \cdot Q_{um} + C_{mex} \mathbf{Q}_{um} - q - C_{omx} \mathbf{Q}_{um} - q, \qquad (2.3)$$

где $Q_{\text{инт}}$ – масса заготовки, кг;

q – масса детали, кг;

 $C_{\text{отх}}$ – цена 1 кг отходов, руб/кг.

Принимаем

 Q_{int} =0,53 кг – по расчету;

q=1,3 кг – по условию;

 $C_{\text{отх}}$ =0,0144 руб/кг – для стальной стружки [6].

Тогда по формуле (2.3) имеем:

$$C_{\delta\phi} = 0.2715 \cdot 1.3 + 0.6578$$
 (3 - 0.53) - (3 - 0.53),0144 = 0.85 py6.

Определяем технологическую себестоимость изготовления детали, полученную прокатом [6].

$$C_{mn} = C_{3az} \cdot Q_{np} + C_{Mex} \mathbf{Q}_{np} - q - C_{omx} \mathbf{Q}_{np} - q,$$
(2.4)

где $Q_{\text{пр}}$ – масса заготовки из проката, кг.

Принимаем

$$Q_{пр}=2,1$$
 кг – по расчету.

Тогда по формуле (2.4) имеем:

$$C_{\delta i} = 0.1219 \cdot 2.1 + 0.6578$$
 4.1 – 0.53 – 0.0144 **4**.1 – 0.53 = 1.27 py6.

Итак, по технологической себестоимости наиболее экономичным является вариант изготовления детали из заготовки, полученной штамповкой.

При этом мы наблюдаем годовую экономию:

$$\Im_{\varepsilon} = \mathbb{C}_{mn} - C_{mu} \mathcal{Y}_{\varepsilon} = 4.27 - 0.85 \mathcal{Y}_{000} = 2100 \text{ pyb.}$$

Для учета ценовой инфляции введен коэффициент К=10.

Тогда годовая экономия будет составлять:

$$\theta_{e} = 2100 \cdot 10 = 21000 \text{ py}$$
6.

2.4 Выбор методов обработки поверхностей.

В зависимости от шероховатости поверхности, а также от служебного назначения поверхности определяют последовательность обработки.

Последовательность обработки каждой поверхности детали представлена в таблице 2.4.

Таблица 2.4 - Последовательность обработки поверхностей

$N_{\underline{0}}$	№ пов-ти	Ra,	I	Маршрут обработки
		МК	T	поверхности
		M		
1	1,4,5,6,7,8,12,13,14,15,16,1	5	1	Токарная черновая,
	8		4	Токарная чистовая
2	2, 17	0,4	5	Токарная черновая,
				Токарная чистовая,
				Шлифование
				черновое,
				Шлифование
				чистовое,
				Полирование

3	3, 32	1,6	1	Токарная черновая,
			4	Токарная чистовая,
				Шлифование
				черновое
4	19, 20	1,6	1	Центровальная,
			4	Центрошлифовальна
				Я
5	21, 23, 24, 25, 26, 28	5	1	Сверлильная,
			4	Расточная
6	22, 27	5	1	Сверлильная
			4	
7	29,31	3,2	1	Протяжная
			1	
8	30	1,6	7	Протяжная
I	Продолже	ние табл.	2.4	l l
9	11	1,6	1	Зубофрезерная
			0	

2.5 Определение припусков.

Припуск — слой материала, удаляемый с поверхности заготовки при обработке. Расчет припусков состоит в определении толщины этого слоя. Припуск должен быть минимальным, чтобы уменьшить количество снимаемого материала и расходы на обработку, и в то же время достаточным, чтобы исключить появление на обработанной поверхности дефектов (повышенной шероховатости, черноты, отбеленного слоя и т.п.) черновых операций.

При данном способе получения заготовки — штамповка, на базовый размер наружной поверхности ø25k5, который является основным, определяем припуск на цилиндрическую поверхность расчетно-экономическим способом, а остальные припуски назначаем по таблицам.

Исходные данные:

1.
$$D = 25(^{+0,011}_{+0,002})$$
 mm; $L = 30$; $Ra = 0.4$ mkm.

На данную поверхность назначаем переходы:

- 1) токарная черновая обработка;
- 2) токарная чистовая обработка;
- 3) шлифование черновое;
- 4) шлифование чистовое;
- 5) полирование.

Результаты расчетов занесем в таблицу 2.5, начиная с заготовительной операции.

Для каждого перехода определяем суммарную величину

$$a = R_z + h_a$$
, [7]

где R_Z — максимальная высота неровностей профиля поверхности, мм; h_{∂} — глубина дефектного слоя, мм.

Значения заносим в графу 5 таблицы 2.5.

По формуле

 $\Delta = 0.25 \cdot Td$ [8] определяем суммарное отклонение формы и расположения поверхностей после обработки на каждом переходе:

$$\Delta_0 = 0.25 \cdot 2.5 = 0.625$$
 , MM.

$$\Delta_{01} = 0.25 \cdot 0.21 = 0.053$$
, MM.

$$\Delta_{02} = 0.25 \cdot 0.052 = 0.013$$
, MM.

$$\Delta_{TO} = 0.25 \cdot 0.084 = 0.021$$
 , MM.

$$\Delta_{03} = 0.25 \cdot 0.032 = 0.008$$
 , MM.

$$\Delta_{04} = 0.25 \cdot 0.013 = 0.003$$
, MM.

$$\Delta_{05} = 0.25 \cdot 0.009 = 0.002$$
 , MM.

Определяем погрешность установки є заготовки в приспособлении на каждом переходе. В нашем случае до термообработки заготовка устанавливается в трехкулачковом самоцентрирующем патроне, так как

присутствуют большие силы резания и обеспечивается достаточная точность.

Определяем предельные значения припусков на обработку для каждого перехода, кроме О и ТО.

$$Z_{\min} = a_{i-1} + \sqrt{ \Phi_{i-1} ^2 + \varepsilon_i^2} \ . \label{eq:Zmin}$$

Здесь і – параметр, который указывает на выполняющийся в настоящее время переход;

(i-1) – относится к предыдущему переходу.

$$\begin{split} Z_{1 \min} &= a_0 + \sqrt{ \mathbf{Q}_0 ^2 + \varepsilon_1^2 } = 0,4 + \sqrt{0,625^2 + 0,025^2 } = 1,025 \text{ , MM.} \\ Z_{2 \min} &= a_1 + \sqrt{ \mathbf{Q}_1 ^2 + \varepsilon_2^2 } = 0,2 + \sqrt{0,053^2 + 0} = 0,253 \text{ , MM.} \\ Z_{3 \min} &= a_2 + \sqrt{ \mathbf{Q}_{00} ^2 + \varepsilon_3^2 } = 0,1 + \sqrt{0,021^2 + 0^2 } = 0,121 \text{ , MM.} \\ Z_{4 \min} &= a_3 + \sqrt{ \mathbf{Q}_3 ^2 + \varepsilon_4^2 } = 0,03 + \sqrt{0,008^2 + 0} = 0,038 \text{ , MM.} \end{split}$$

 $Z_{5\min} = a_4 + \sqrt{\Phi_4^2 + \varepsilon_5^2} = 0.015 + \sqrt{0.003^2 + 0} = 0.018$, MM.

Максимальное значение припуска определяем по формуле

$$\begin{split} Z_{i\max} &= Z_{i\min} + 0.5 \, \P d_{i-1} + T d_{i} \, \Big]. \\ Z_{1\max} &= Z_{1\min} + 0.5 \, \P d_{0} + T d_{1} = 1,025 + 0,5 \, \P , 5 + 0,21 = 2,38 \, , \, \text{MM}. \\ Z_{2\max} &= Z_{2\min} + 0.5 \, \P d_{1} + T d_{2} = 0,253 + 0,5 \, \P , 21 + 0,052 = 0,384 \, , \, \text{MM}. \\ Z_{3\max} &= Z_{3\min} + 0,5 \, \P d_{2} + T d_{3} = 0,121 + 0,5 \, \P , 052 + 0,032 = 0,163 \, , \, \text{MM}. \\ Z_{4\max} &= Z_{4\min} + 0,5 \, \P d_{3} + T d_{4} = 0,038 + 0,5 \, \P , 032 + 0,013 = 0,061 \, , \, \text{MM}. \\ Z_{5\max} &= Z_{5\min} + 0,5 \, \P d_{4} + T d_{5} = 0,018 + 0,5 \, \P , 013 + 0,009 = 0,029 \, , \, \text{MM}. \end{split}$$

Значения заносим в графы 8 и 9 таблицы, округляя их в сторону увеличения до того знака после запятой, с каким задан допуск на размер для данного квалитета точности.

$$d_{5min}$$
=25,002 мм.
$$d_{5max}$$
=25,011 мм.
$$d_{4min}$$
= d_{5max} +2 Z_{5min} =25,011+2 0,029=25,069, мм.

$$d_{4\text{max}} = d_{4\text{min}} + Td_5 = 25,069 + 0,009 = 25,078, \text{ MM}.$$

$$d_{3min}=d_{4max}+2Z_{4min}=25,078+20,038=25,154, MM.$$

$$d_{3max} = d_{3min} + Td_4 = 25,154 + 0,013 = 25,167, \text{ MM}.$$

$$d_{TOmin} = d_{3max} + 2Z_{3min} = 25,167 + 20,121 = 25,409$$
, MM.

$$d_{TOmax} = d_{TOmin} + Td_{TO} = 25,409 + 0,084 = 25,493, \text{ MM}.$$

$$d_{2min} = d_{T0min} 0,999 = 25,409 0,999 = 25,384, MM.$$

$$d_{2\text{max}} = d_{2\text{min}} + Td_2 = 25,384 + 0,052 = 25,904, \text{ MM}.$$

$$d_{1min} = d_{2max} + 2Z_{2min} = 25,904 + 20,253 = 26,410, MM.$$

$$d_{1\text{max}} = d_{1\text{min}} + Td_1 = 26,410 + 0,210 = 26,620, \text{ MM}.$$

$$d_{0min} = d_{1max} + 2Z_{1min} = 26,620 + 21,025 = 28,670$$
, MM.

$$d_{0\text{max}} = d_{0\text{min}} + Td_0 = 28,670 + 2,5 = 31,170, \text{ MM}.$$

Округляем значения d_{min} и d_{max} в сторону увеличения и заносим в графы 11 и 12 таблицы.

Определяем средние значения размера для каждого перехода по формуле

$$\begin{split} &d_{cpi} = 0.5 \, \text{$\rlap/$d}_{i\,\text{max}} + d_{i\,\text{min}} \, \text{$\rlap/$.} \\ &d_{cp0} = 0.5 \, \text{$\rlap/$d}_{0\,\text{max}} + d_{0\,\text{min}} \, \text{$\rlap/$=} 0.5 \, \text{$\rlap/$d}_{1,17} + 28.67 \, \text{$\rlap/$=} 29.92 \, \text{$\rlap/$mM}. \\ &d_{cp1} = 0.5 \, \text{$\rlap/$d}_{1\,\text{max}} + d_{1\,\text{min}} \, \text{$\rlap/$=} 0.5 \, \text{$\rlap/$d}_{6,620} + 26,410 \, \text{$\rlap/$=} 26,515 \, \text{$\rlap/$mM}. \\ &d_{cp2} = 0.5 \, \text{$\rlap/$d}_{2\,\text{max}} + d_{2\,\text{min}} \, \text{$\rlap/$=} 0.5 \, \text{$\rlap/$d}_{5,904} + 25,384 \, \text{$\rlap/$=} 25,644 \, \text{$\rlap/$mM}. \\ &d_{cp3} = 0.5 \, \text{$\rlap/$d}_{3\,\text{max}} + d_{3\,\text{min}} \, \text{$\rlap/$=} 0.5 \, \text{$\rlap/$d}_{5,167} + 25,154 \, \text{$\rlap/$=} 25,161 \, \text{$\rlap/$mM}. \\ &d_{cp4} = 0.5 \, \text{$\rlap/$d}_{4\,\text{max}} + d_{4\,\text{min}} \, \text{$\rlap/$=} 0.5 \, \text{$\rlap/$d}_{5,078} + 25,069 \, \text{$\rlap/$=} 25,074 \, \text{$\rlap/$mM}. \\ &d_{cp5} = 0.5 \, \text{$\rlap/$d}_{5\,\text{max}} + d_{5\,\text{min}} \, \text{$\rlap/$=} 0.5 \, \text{$\rlap/$d}_{5,011} + 25,002 \, \text{$\rlap/$=} 25,007 \, \text{$\rlap/$mM}. \end{split}$$

Значения заносим в графу 13 таблицы.

Определяем общий припуск на обработку по формулам

$$2Z_{\rm max} = 3{,}659 + 2{,}5 + 0{,}009 = 6{,}168$$
 , MM.

$$2Z_{cp} = 0.5$$
 (.659 + 6.168) = 4.914, MM.

Значения $2Z_{min}$, $2Z_{max}$ и $2Z_{cp}$ заносим в нижнюю строку в графы 8, 9 и 10 таблицы.

Схема расположения допусков приведена на рисунке 2.1.

Таблица 2.5 - Припуски и операционные размеры на пов. $\emptyset 25 k5 \binom{+0,011}{+0,002}$ мм.

№	Наименов	Точ	ность	Co	ставляю	ощие]	Припуск, м	M	Преде	ельные ра	змеры,
по					припуск	ca					MM	
В.	перехода	I	Td,	a	Δ	3	Z_{\min}	Z _{max}	Z_{cp}	d_{\min}	d _{max}	d_{cp}
		T	MM									
0	Штампов	1	2,5	0,	0,6	-	-	-	-	28,6	31,1	29,9
	ка	6		4	25					7	7	2
1	Точение	1	0,2	0,	0,0	0,0	1,025	2,380	1,703	26,4	26,6	26,5
	черновое	2	10	2	53	25				10	20	15
2	Точение	9	0,0	0,	0,0	0	0,253	0,384	0,319	25,3	25,9	25,6
	чистовое		52	1	13					84	04	44
3	Термичес	1	0,0	0,	0,0	-	-	-	-	25,4	25,4	25,4
	кая	0	84	25	21					09	93	51
	обработка											
4	Шлифова	8	0,0	0,	0,0	0	0,121	0,163	0,142	25,1	25,1	25,1
	ние		32	03	08					54	67	61
	черновое											
5	Шлифова	6	0,0	0,	0,0	0	0,038	0,061	0,050	25,0	25,0	25,0

	ние		13	02	03				69	78	74
	чистовое										
6	Полирова	5	0,0	0,	0,0	0,018	0,029	0,024	25,0	25,0	25,0
	ние		09	01	02				02	11	07
Суммарный припуск 2Z				2Z _{min} =3,	2Z _{max} =6,	2Z _{cp} =4,		l			
						659	168	914			

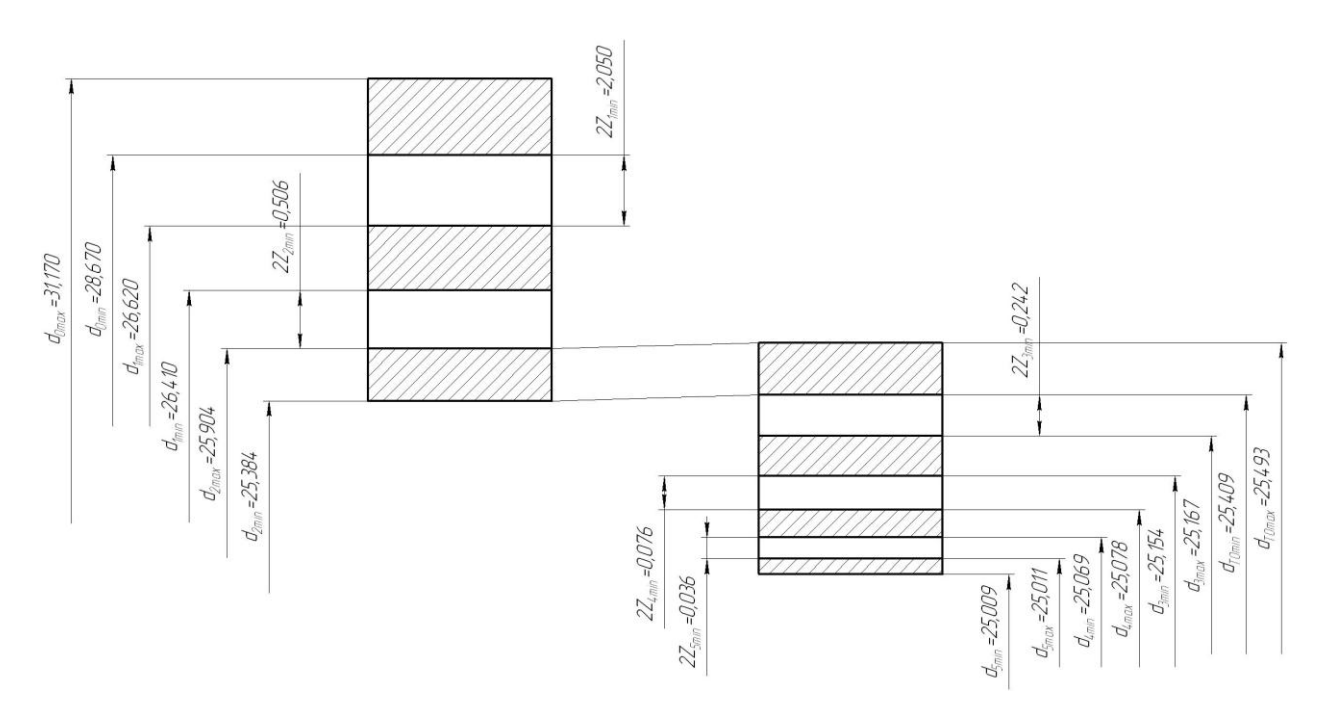


Рис. 2.1. Схема расположения припусков и полей допусков на пов. $\emptyset 25 \text{k} 5 \binom{+0.011}{+0.002}$.

2.6 Проектирование заготовки.

При проектировании заготовки необходимо учитывать следующие пункты:

- 1) необходимые припуски под обработку;
- 2) наличие черновых баз (в данном случае на операции 005 «Токарная черновая» в качестве черновых баз берутся наружная цилиндрическая и торцовая поверхности);
- 3) технические требования, предъявляемые к точности штамповки (при проектировании заготовки необходимо учитывать штамповочные уклоны).

2.6.1 Назначение припусков.

Определим основные припуски на размеры, исходя из размеров и шероховатости [10]. Также определим дополнительные припуски, учитывающие отклонения смещения разъема штампа. Рассчитав припуски по методике [10], занесем их в табл. 2.6.

Таблица 2.6 - Припуски под обработку

Номинальный	Допуск, мм	Размер заготовки, мм
размер, мм		
Ø48	-0,62	
Ø31	-0,62	051.5::164
Ø25	+0,011 +0,002	Ø51,5x164
160	-1,0	

2) Назначение допусков.

Определим допуски на номинальные размеры детали по данным [10]. Значения допусков сведем в табл. 2.7.

Таблица 2.7 - Допуски на размеры.

Номинальный размер	Допуск на заготовку,	Размер заготовки, мм
детали, мм	MM	
Ø48	2,8	Ø51,5 ^{+1,8} _{-1,0}
Ø31	2,5	Ø34,5 ^{+1,6} _{-0,9}
160	4,3	164 +2,7 -1,6
Ø25	2,5	Ø29 ^{+1,6} _{-0,9}

3) Назначение штамповочных уклонов и радиусы закругления углов. Определим штамповочные уклоны и радиусы закругления углов [9]. Штамповочные уклоны на наружные поверхности $-3...7^0$.

Радиусы закруглений углов на глубину полости ручья штампа, мм:

до 50 - 3;

свыше 50 - 5.

Допускаемая величина заусенцев [9] – 4 мм.

Допускаемая величина остаточного облоя [9] – 0,8 мм.

Модель заготовки представлена на рис. 2.2.

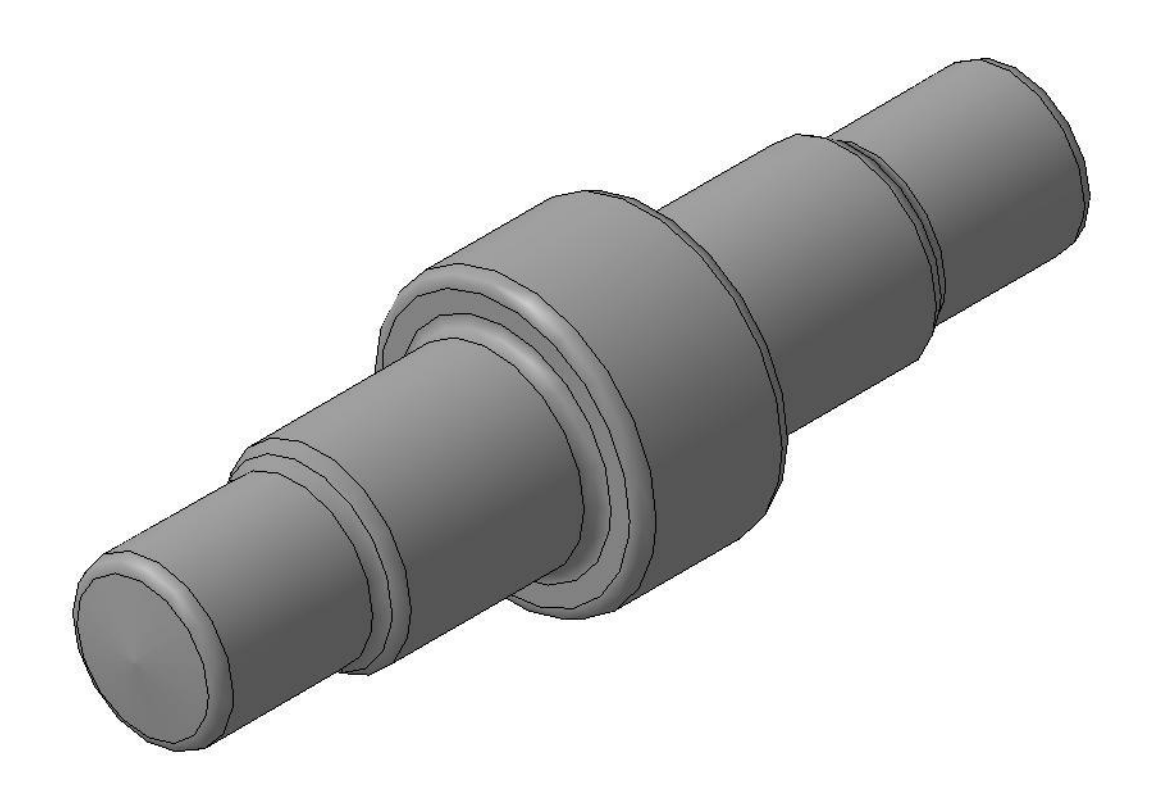


Рис. 2.2. Заготовка

Чертеж штамповки представляем на чертеже заготовки в графической части работы.

2.7 Разработка технологического маршрута.

Используя данные пунктов 4-5, разработаем технологический маршрут обработки детали.

При разработке маршрута будем руководствоваться следующими требованиями:

Технологический маршрут будем разрабатывать в следующей последовательности:

- 1) В графу 1 табл. 2.8 запишем номер операции.
- 2) В графу 2 запишем наименование и содержание операции.
- 3) Точность и шероховатость обрабатываемых поверхностей занесем соответственно в графы 3 и 4.

Таблица. 2.8 - Технологический маршрут обработки

№	Наименование и	Точность IT	Шероховатость
операции	содержание операции		Ra
1	2	3	4
000	Заготовительная	15	40
	(штамповка на ГКМ)		
005	Токарная черновая с	12	12,5
	ЧПУ		
	1) Точить наружные		
	поверхности 11, 14, 19		
	2) Сверлить		
	внутреннюю		
	поверхность 21		
010	Токарная черновая с	12	12,5
	ЧПУ		
	Точить наружные		
	поверхности 1, 3, 8, 9,		
	10		
015	Токарная чистовая с	9	6,3
	ЧПУ		
	1) Точить		
	окончательно		
	наружные		
	поверхности 11, 12,		
	13, 14, 19		

	2) Расточить		
	окончательно		
	внутренние		
	поверхности 20, 21		
020	Токарная чистовая с	9	6,3
	ЧПУ		
	Точить окончательно		
	наружные		
	поверхности 13, 6, 7,		
	8, 9, 10		

1	2	3	4
025	Сверлильная	14	6,3
	1) Сверлить,		
	зенкеровать и		
	развертывать 3		
	отверстия Ø35мм, Ra		
	0,4, IT 6		
	2) Сверлить,		
	рассверливать и		
	цековать 3		
	ступенчатых		
	отверстия Ø15мм,		
	Ø9мм		
	3) Сверлить,		
	рассверливать и		
	цековать 3		
	ступенчатых		
	отверстия Ø19мм,		
	Ø11мм		

030	Сверлильная с ЧПУ		
	Сверлить и нарезать	10	6,3
	резьбу 3 отверстия М6		
	MM.		
035	Фрезерная с ЧПУ		
	Фрезеровать	14	6,3
	поверхности 16, 17, 18		
	28	8	3,2
037	Фрезерная с ЧПУ		
	Фрезеровать 3 паза	14	6,3
	поверхности 4, 5		
040	Термическая		
	Цементировать		
	поверхности		
045	Шлифовальная		
	черновая	8	1,25
	Шлифовать		
	поверхности 9, 10, 11		

1	2	3	4
050	Шлифовальная		
	черновая	8	1,25
	Шлифовать		
	поверхности 1, 3, 8		
055	Шлифовальная		
	чистовая	6	0,8
	Шлифовать	14	0,8

	поверхности 9	7	0,8
	10		
	11		
060	Шлифовальная		
	чистовая	9	0,8
	Шлифовать	6	0,8
	поверхности 1	14	0,8
	3		
	8		
065	Моечная		
	Мыть и сушить все		
	поверхности		
070	Контрольная		
	Контролировать		
	окончательно 50%		
	размеров, согласно		
	чертежа		

2.8 Выбор средств технологического оснащения.

2.8.1 Выбор оборудования.

Данные по выбору оборудования заносим в таблицу 2.9.

Таблица 2.9 - Выбор технологического оборудования.

Номер и наименование операции	Оборудование
005 Центровально-подрезная	Центровально-подрезной станок
	2A911-1
010 Токарная черновая с ЧПУ	Токарный патронный станок с
	ЧПУ 16Б16Т1С1
015 Токарная черновая с ЧПУ	Токарный патронный станок с
	ЧПУ 16Б16Т1С1
020 Токарная чистовая с ЧПУ	Токарный патронный станок с
	ЧПУ 16Б16Т1С1
025 Токарная чистовая с ЧПУ	Токарный патронный станок с
	ЧПУ 16Б16Т1С1
030 Зубофрезерная	Зубофрезерный станок 5К32А
033 Сверлильная	Вертикально-сверлильный станок
	с ЧПУ 2Р135Ф2-1
035 Протяжная	Вертикально-протяжной станок
	7Б66
045 Зубошлифовальная	Зубошлифовальный станок 5М841
050 Шлифовальная	Торцекруглошлифовальный
	станок 3Т161
055 Шлифовальная	Торцекруглошлифовальный
	станок 3Т161
060 Шлифовальная	Круглошлифовальный станок
	3M193
065 Шлифовальная	Круглошлифовальный станок
	3M193
070 Полировальная	Шлифовально-полировальный
	станок 3В853
075 Полировальная	Шлифовально-полировальный

станок 3В853

2.8.2 Выбор приспособлений.

Данные по выбору приспособлений занесем в табл. 2.10.

Таблица 2.10 - Выбор приспособлений.

Призмы опорные ГОСТ 12194-66
Самоцентрирующий
трехкулачковый патрон ГОСТ
2675-80
Самоцентрирующий
трехкулачковый патрон ГОСТ
2675-80
Самоцентрирующий
трехкулачковый патрон ГОСТ
2675-80
Самоцентрирующий
трехкулачковый патрон ГОСТ
2675-80
Универсальная делительная
головка ГОСТ 8615-89;
Центр упорный ГОСТ 13214-79
Призмы опорные ГОСТ 12194-66
Патрон зажимной
Универсальная делительная
головка ГОСТ 8615-89;
Центр упорный ГОСТ 13214-79
Поводковый патрон ГОСТ 2571-
71;
Центр упорный ГОСТ 13214-79

Поводковый патрон ГОСТ 2571-
71;
Центр упорный ГОСТ 13214-79
Поводковый патрон ГОСТ 2571-
71;
Центр упорный ГОСТ 13214-79

065 Шлифовальная	Поводковый патрон ГОСТ 2571-
	71;
	Центр упорный ГОСТ 13214-79
070 Полировальная	Поводковый патрон ГОСТ 2571-
	71;
	Центр упорный ГОСТ 13214-79
075 Полировальная	Поводковый патрон ГОСТ 2571-
	71;
	Центр упорный ГОСТ 13214-79

2.8.3 Выбор режущего инструмента.

Данные по выбору режущего инструмента сведем в табл. 2.11.

Таблица 2.11 - Выбор режущего инструмента

Номер и наименование	Режущий инструмент
операции	
005 Центровально-подрезная	1) Сверло центровочное ∩5 Р6М5
	ГОСТ 14952-75;
	2) Четырехгранная пластина ВК8
	19051-73.
010 Токарная черновая с ЧПУ	1) Резец сборный проходной

	отогнутый правый Т15К6 ГОСТ
	18868-73;
	2) Резец сборный проходной
	отогнутый левый Т15К6 ГОСТ
	18868-73.
015 Токарная черновая с ЧПУ	1) Резец сборный проходной
	отогнутый правый Т15К6 ГОСТ
	18868-73;
	2) Резец сборный проходной
	отогнутый левый Т15К6 ГОСТ
	18868-73.

1) Резец сборный проходной
отогнутый правый Т15К6 ГОСТ
18868-73;
2) Резец сборный проходной
отогнутый левый Т15К6 ГОСТ
18868-73;
3) Резец расточной Т15К6 ГОСТ
18062-72;
4) Сверло спиральное Р6М5 ГОСТ
4010-77.
1) Резец сборный проходной
отогнутый правый Т15К6 ГОСТ
18868-73;
2) Резец сборный проходной
отогнутый левый Т15К6 ГОСТ
18868-73;
3) Резец расточной Т15К6 ГОСТ
18062-72;

	4) Сверло спиральное Р6М5 ГОСТ
	4010-77.
030 Зубофрезерная	Фреза червячная ГОСТ 9324-80.
033 Сверлильная	Сверло спиральное с
	цилиндрическим хвостовиком
	Р6М5 ГОСТ 4010-77.
035 Протяжная	1) Протяжка круглая;
	2) Протяжка шлицевая.
045 Зубошлифовальная	Червячный шлиф круг 1
	350х60х150 14AF80L7V 30м/с 2кл.
	ГОСТ Р 52781-2007.

050 Шлифовальная	Шлиф круг 1 350х60х150 14AF80L7V 30м/с 2кл. ГОСТ Р 52781-2007.
055 Шлифовальная	Шлиф круг 1 350х60х150 14AF80L7V 30м/с 2кл. ГОСТ Р 52781-2007.
060 Шлифовальная	Шлиф круг 1 350х60х150 14AF80L7V 30м/с 2кл. ГОСТ Р 52781-2007.
065 Шлифовальная	Шлиф круг 1 350х60х150 14AF80L7V 30м/с 2кл. ГОСТ Р 52781-2007.
070 Полировальная	Полировальный лепестковый круг 350х60х150 14AF80L7V 30м/с 2кл. ГОСТ Р 52781-2007.
075 Полировальная	Полировальный лепестковый круг 350х60х150 14AF80L7V 30м/с 2кл.

ГОСТ Р 52781-2007.

2.8.4 Выбор средств контроля.

При выборе средств контроля следует руководствоваться следующими правилами:

- 1) Точность измерительных инструментов и приспособлений должна быть существенно выше точности измеряемого размера.
- 2) В среднесерийном производстве следует применять инструменты общего назначения: штангенциркули, микрометры и т.д.
- 3) Следует отдавать предпочтение стандартным и нормализованным средствам контроля, сведя данный выбор в табл. 2.12.

Таблица 2.12 - Выбор средств контроля

Номер и наименование	Режущий инструмент
операции	
005 Центровально-подрезная	Штангенциркуль ШЦ-ІІІ-250-0,05
	ГОСТ 166-80;
	Калибр-пробка для контроля
	отверстий Ø3,15мм ГОСТ 3882-77.
010 Токарная черновая с ЧПУ	Штангенциркуль ШЦ-ІІІ-250-0,05
	ГОСТ 166-80.
015 Токарная черновая с ЧПУ	Штангенциркуль ШЦ-ІІІ-250-0,05
	ГОСТ 166-80.
020 Токарная чистовая с ЧПУ	Штангенциркуль ШЦ-ІІІ-250-0,05
	ГОСТ 166-80;
	Калибр-пробка ГОСТ 3882-77;
	Микрометр ГОСТ 6507-90.
025 Токарная чистовая с ЧПУ	Штангенциркуль ШЦ-ІІІ-250-0,05
	ГОСТ 166-80;
	Микрометр ГОСТ 6507-90.
030 Зубофрезерная	Штангенциркуль ШЦ-ІІІ-250-0,05
	ГОСТ 166-80;
	Индикатор ГОСТ 5584-75.
033 Сверлильная	Калибр-пробка ГОСТ 3882-77.
035 Протяжная	Приборы комплексного контроля
045 Зубошлифовальная	Прибор активного контроля БВ-
	6060-УНВ-40 ГОСТ 8517-80;
	Шаблон специальный.
050 Шлифовальная	Прибор активного контроля БВ-
	6060-УНВ-40 ГОСТ 8517-80

Продолжение табл. 2.12

055 Шлифовальная	Прибор активного контроля БВ- 6060-УНВ-40 ГОСТ 8517-80
060 Шлифовальная	Прибор активного контроля БВ- 6060-УНВ-40 ГОСТ 8517-80
065 Шлифовальная	Прибор активного контроля БВ- 6060-УНВ-40 ГОСТ 8517-80
070 Полировальная	Профилограф-профилометр
075 Полировальная	Профилограф-профилометр

2.9 Расчёт режимов обработки.

2.9.1 Выберем режимы резания на операцию 005 Центровально-подрезная.

Переход 1. Подрезать два торца.

$$L = L_P + L_{II} + L_{II}, {10}$$

где L_P – длина резания;

 L_{Π} – величина подвода, врезания и перебега инструмента;

 $L_{\rm J}$ — дополнительная длина хода, вызываемая в ряде случаев особенностями наладки и конфигурации детали.

$$L_{\Pi} = L_{\Pi O A B} + L_{BPE3} + L_{\Pi EP}$$
.

$$L_{BPE3} = 3 \text{ MM}.$$

$$L_{\Pi O J B} = L_{\Pi E P} = 1$$
 мм.

$$L_{II} = 3 + 1 + 1 = 5$$
 MM.

$$L_{\text{Д}} = 0$$
.

$$L = \frac{29}{2} + 5 + 0 = 19,5$$
 MM.

Определим стойкость инструментов.

$$T_P = T_M \cdot \lambda$$
,

где T_{M} –стойкость в минутах основного времени работы станка;

 λ — коэффициент времени резания, равный отношению длины резания L_P инструмента к общей длине рабочего хода шпиндельной головки $L_{P,X}$.

$$\lambda = \frac{L_P}{L_{P.X}} \approx 1.$$

 $T_{\rm M} = 120$ мин.

 $T_P = 120 \cdot 1 = 120$ мин.

Назначим подачу S_0 .

Назначение подачи суппорта на оборот шпинделя S₀:

$$S_0 = S_{0.TAE/I} \cdot K \cdot K_1,$$

где $S_{0,TABJI}$ – подача по таблице., мм/об;

К – коэффициент, зависящий от обрабатываемого материала;

 K_1 — коэффициент, зависящий от соотношения фактической и табличной величин глубины резания [10].

Глубина резания t=2,5 мм.

 $S_{0.TAБЛ}$ =0,35 мм/об.

Для сталей пониженной обрабатываемости вводится коэффициент K=0.6.

$$\frac{t_{\phi AKT}}{t_{\text{ТАБЛ}}} = \frac{3}{2,5} = 1,2$$
 . Принимаем $K_1 = 1$.

$$S_0 = 0.35 \cdot 0.6 \cdot 1 = 0.21$$
, mm/os.

Рассчитаем скорость резания υ и частоту вращения шпинделя п.

$$\upsilon = \upsilon_{TAE\Pi} \cdot K_1 \cdot K_2 \cdot K_3,$$

где $\upsilon_{TAБЛ}$ – скорость по таблице, м/мин;

 K_1 , K_2 , K_3 — коэффициенты, зависящие соответственно от марки и твердости обрабатываемого материала, группы твердого сплава и стойкости инструмента T_P .

$$\upsilon_{\text{ТАБЛ}} = 205 \text{ м/мин.}$$

Для стали 19XГН $K_1 = 0.8$.

$$K_2 = 1,0.$$

$$K_3 = 0.8.$$

$$\upsilon = 205 \cdot 0.8 \cdot 1 \cdot 0.8 = 131.2$$
 M/MUH.

$$n = \frac{1000 \cdot \upsilon}{\pi \cdot D}$$
, МИН⁻¹.

$$n = \frac{1000 \cdot 131,2}{3,14 \cdot 29} = 1441$$
, МИН⁻¹.

Уточним значение n по паспорту станка.

Принимаем $n = 1250 \text{ мин}^{-1}$.

Рассчитаем фактическое значение скорости резания.

$$\upsilon_{\phi AKT} = \frac{\pi \cdot \mathbf{D} \cdot \mathbf{n}}{1000} = \frac{3,14 \cdot 29 \cdot 1250}{1000} = 114$$
, м/мин.

$$S_M = S_0 \cdot n = 0.21 \cdot 1250 = 262.5 \,\text{MM/MUH}.$$

Рассчитаем основное время обработки Т₀.

$$T_0 = \frac{L}{S_0 \cdot n}.$$

$$T_0 = \frac{19,5}{0.21 \cdot 1250} = 0.07$$
, мин.

Переход 2. Центровать два торца.

$$L = L_P + L_{II} + L_{IJ}, \qquad [10]$$

где L_P – длина резания;

 L_{Π} – величина подвода, врезания и перебега инструмента;

 $L_{\rm Д}$ — дополнительная длина хода, вызываемая в ряде случаев особенностями наладки и конфигурации детали.

$$L_{\Pi} = 2$$
 MM.

$$L_{\mathcal{I}} = 0$$
 MM.

$$L = 10 + 2 + 0 = 12$$
 MM.

Определим стойкость инструментов.

$$T_P = T_M \cdot \lambda$$
,

где $T_{\rm M}$ –стойкость в минутах основного времени работы станка;

 λ — коэффициент времени резания, равный отношению длины резания L_P инструмента к общей длине рабочего хода шпиндельной головки $L_{P,X}$.

$$\lambda = \frac{L_P}{L_{PX}} \approx 1.$$

 $T_{\rm M} = 60$ мин.

 $T_P = 60 \cdot 1 = 60$ мин.

 $S_0 = 0.2 \text{ MM/o}$ 6.

Рассчитаем скорость резания υ , частоту вращения инструментальных шпинделей n, а также минутную подачу S_M .

$$\upsilon = \upsilon_{\partial AA} \cdot \mathbf{K}_1 \cdot \mathbf{K}_2 \cdot \mathbf{K}_3$$

где $\upsilon_{\text{ТАБЛ}}$ – скорость резания по таблице, м/мин;

 K_1 – коэффициент, зависящий от обрабатываемого материала;

 K_2 – коэффициент, зависящий от отношения принятой подачи к подаче, указанной на карте C-3 [10];

К₃ – коэффициент, зависящий от стойкости инструмента.

 $v_{\text{ТАБЛ}} = 15 \text{ м/мин.}$

 $K_1 = 0.75$.

 $K_2 = 1,0.$

 $K_3 = 0.95$.

 $\upsilon = 15 \cdot 0.75 \cdot 1 \cdot 0.95 = 10.7$ м/мин.

$$n = \frac{1000 \cdot \upsilon}{\pi \cdot D} \, .$$

$$n = \frac{1000 \cdot 10.7}{3.14 \cdot 10.6} = 321.5 \text{ MИН}^{-1}.$$

Принимаем по паспорту станка $n = 315 \text{ мин}^{-1}$.

На операции «Центровальная» в качестве инструмента выберем сверла центровочные с покрытием TiN. При этом скорость резания можно увеличить до значения υ =20 м/мин.

$$n = \frac{1000 \cdot 20}{3.14 \cdot 10.6} = 600.9$$
, MUH⁻¹.

Принимаем по паспорту станка $n = 500 \text{ мин}^{-1}$.

Уточним значение скорости резания.

$$\upsilon = \frac{\pi \cdot D \cdot n}{1000} = \frac{3,14 \cdot 10,6 \cdot 500}{1000} = 16,6$$
 м/мин.

$$S_M = S_0 \cdot n = 0.2 \cdot 500 = 100 \text{ MM/MUH}.$$

Рассчитаем основное время на обработку Т₀.

$$T_o = \frac{L_{P,X}}{S_{\scriptscriptstyle M}} = \frac{12}{100} = 0,12$$
 мин.

2.9.2 Режимы резания на операцию 010 Токарная черновая с ЧПУ.

Точить поверхности, выдерживая размеры $\emptyset 48$, $5_{-0,25}$, $92,5\pm0,435$, $\emptyset 26,5_{-0.52}$, $125\pm0,5$, $\emptyset 31,5_{-0.62}$, $\emptyset 25,65_{-0.52}$, $160,5\pm0,5$.

Режимы резания выберем, пользуясь литературой [10].

По [10] определим подачу S_0 =0,9 мм/об.

По [10] определим скорость V_0 =135 м/мин.

$$V = V_0 \cdot K_1 \cdot K_2 \cdot K_3 \cdot K_4,$$

где K_1 – поправочный коэффициент, учитывающий обрабатываемый материал;

 ${\rm K}_2$ — поправочный коэффициент, учитывающий состояние обрабатываемой поверхности;

К₃ – поправочный коэффициент, учитывающий материал резца;

 K_4 – поправочный коэффициент, учитывающий главный угол в плане.

Примем

 $K_1=1,35-$ для стали [10];

 K_2 =0,88 – для поверхности с коркой [10];

 $K_3=0,65$ — для инструмента из твердого сплава [10];

 $K_4=1,0$ – для резца с $\phi=45^0$ [10].

Тогда $V = 135 \cdot 1,35 \cdot 0,88 \cdot 0,65 \cdot 1,0 = 104$ м/мин.

Частота вращения

$$n = \frac{1000 V}{\pi D} = \frac{1000 \cdot 104}{3.14 \cdot 48.5} = 683 \text{ MUH}^{-1}.$$

 $n_{\phi} = 630 \text{ мин}^{-1}$.

Фактическая скорость резания

$$V_{\phi} = \frac{\pi \cdot d \cdot n}{1000} = \frac{3,14 \cdot 48,5 \cdot 630}{1000} = 96 \text{ м/мин.}$$

Минутная подача

$$S = S_0 \cdot n = 0.9 \cdot 630 = 567$$
 мм/мин.

Основное время

$$T_0 = \frac{L_{px}}{S} = \frac{110}{567} = 0.19 \text{ MUH}.$$

2.9.3 Режимы резания на операцию 015 Токарная черновая с ЧПУ.

Точить поверхности, выдерживая размеры $\emptyset26,5_{-0.52}$, $125\pm0,5$, $\emptyset31,5_{-0.62}$, $\emptyset25,65_{-0.52}$.

Режимы резания выберем, пользуясь литературой [10].

По [10] определим подачу S_0 =0,9 мм/об.

По [10] определим скорость V_0 =135 м/мин.

$$V = V_0 \cdot K_1 \cdot K_2 \cdot K_3 \cdot K_4,$$

где K_1 — поправочный коэффициент, учитывающий обрабатываемый материал;

 K_2 — поправочный коэффициент, учитывающий состояние обрабатываемой поверхности;

К₃ – поправочный коэффициент, учитывающий материал резца;

 K_4 – поправочный коэффициент, учитывающий главный угол в плане.

Примем

 $K_1=1,35-$ для стали [10];

 K_2 =0,88 — для поверхности с коркой [10];

 K_3 =0,65 — для инструмента из твердого сплава [10];

 $K_4=1,0$ – для резца с $\phi=45^0$ [10].

Тогда $V = 135 \cdot 1,35 \cdot 0,88 \cdot 0,65 \cdot 1,0 = 104 \text{ м/мин.}$

Частота вращения

$$n = \frac{1000 \, V}{\pi D} = \frac{1000 \cdot 104}{3,14 \cdot 31,5} = 1051 \text{ MИН}^{-1}.$$

$$n_{\phi}$$
=1000 мин⁻¹.

Фактическая скорость резания

$$V_{\phi} = \frac{\pi \cdot d \cdot n}{1000} = \frac{3,14 \cdot 31,5 \cdot 1000}{1000} = 99$$
 м/мин.

Минутная подача

$$S = S_0 \cdot n = 0,9 \cdot 1000 = 900$$
 мм/мин.

Основное время

$$T_0 = \frac{L_{px}}{S} = \frac{85}{900} = 0.10 \text{ MUH}.$$

2.9.4 Режимы резания на операцию 020 Токарная чистовая с ЧПУ.

Переход 1.Точить поверхности, выдерживая размеры $\emptyset 48_{-0,062}$, $92\pm0,435$, $\emptyset 26_{-0.52}$, $125\pm0,5$, $\emptyset 31_{-0.62}$, $\emptyset 25,2_{-0.052}$, $160\pm0,5$.

Режимы резания выберем, пользуясь литературой [10].

По [10] определим подачу $S_0=0.2$ мм/об.

По [10] определим скорость V_0 =135 м/мин.

$$V = V_0 \cdot K_1 \cdot K_2 \cdot K_3 \cdot K_4,$$

где K_1 — поправочный коэффициент, учитывающий обрабатываемый материал;

К₂ – поправочный коэффициент, учитывающий состояние обрабатываемой поверхности;

 K_3 – поправочный коэффициент, учитывающий материал резца;

 K_4 – поправочный коэффициент, учитывающий главный угол в плане.

Примем

$$K_1=1,35-$$
 для стали [10];

 K_2 =0,88 – для поверхности с коркой [10];

 $K_3=0,65$ — для инструмента из твердого сплава [10];

 $K_4=1,0-$ для резца с $\phi=45^0$ [10].

Тогда $V = 135 \cdot 1,35 \cdot 0,88 \cdot 0,65 \cdot 1,0 = 104$ м/мин.

Частота вращения

$$n = \frac{1000 V}{\pi D} = \frac{1000 \cdot 104}{3.14 \cdot 48} = 690 \text{ MИН}^{-1}.$$

 $n_{\phi} = 630 \text{ мин}^{-1}$.

Фактическая скорость резания

$$V_{\phi} = \frac{\pi \cdot d \cdot n}{1000} = \frac{3,14 \cdot 48 \cdot 630}{1000} = 95 \text{ м/мин.}$$

Минутная подача

$$S = S_0 \cdot n = 0,2 \cdot 630 = 126$$
 мм/мин.

Основное время

$$T_0 = \frac{L_{px}}{S} = \frac{105}{126} = 0.83 \text{ MUH}.$$

Переход 2. Точить поверхность, выдерживая размер R4.

Режимы резания выберем, пользуясь литературой [10].

По [10] определим подачу $S_0=0.2$ мм/об.

По [10] определим скорость V_0 =135 м/мин.

$$V = V_0 \cdot K_1 \cdot K_2 \cdot K_3 \cdot K_4,$$

где K_1 – поправочный коэффициент, учитывающий обрабатываемый материал;

 K_2 — поправочный коэффициент, учитывающий состояние обрабатываемой поверхности;

 K_3 – поправочный коэффициент, учитывающий материал резца;

 K_4 – поправочный коэффициент, учитывающий главный угол в плане.

Примем

 $K_1=1,35-$ для стали [10];

 K_2 =0,88 — для поверхности с коркой [10];

 K_3 =0,65 — для инструмента из твердого сплава [10];

 $K_4=1,0$ – для резца с $\phi=45^0$ [10].

Тогда $V = 135 \cdot 1,35 \cdot 0,88 \cdot 0,65 \cdot 1,0 = 104 \text{ м/мин.}$

Частота вращения

$$n = \frac{1000V}{\pi D} = \frac{1000 \cdot 104}{3,14 \cdot 31} = 1068 \text{ мин}^{-1}.$$

$$n_{\phi}$$
=1000 мин⁻¹.

Фактическая скорость резания

$$V_{\phi} = \frac{\pi \cdot d \cdot n}{1000} = \frac{3,14 \cdot 31 \cdot 1000}{1000} = 97$$
 м/мин.

Минутная подача

$$S = S_0 \cdot n = 0.2 \cdot 1000 = 200 \text{ мм/мин.}$$

Основное время

$$T_0 = \frac{L_{px}}{S} = \frac{4}{200} = 0.02 \text{ MUH}.$$

Переход 3. Сверлить отверстие $\emptyset19^{+0,52}$ на длину L=71,5 $\pm0,2$.

$$L = L_P + L_{\Pi} + L_{\Pi}, \qquad [10]$$

где L_P – длина резания;

 L_{Π} – величина подвода, врезания и перебега инструмента;

 $L_{\rm J}$ — дополнительная длина хода, вызываемая в ряде случаев особенностями наладки и конфигурации детали.

 $L_{II} = 8$ MM.

 $L_{II} = 0$ MM.

$$L = 65 + 8 + 0 = 73$$
 MM.

Определим стойкость инструментов.

$$T_P = T_M \cdot \lambda$$
,

где T_{M} –стойкость в минутах основного времени работы станка;

 λ — коэффициент времени резания, равный отношению длины резания L_P инструмента к общей длине рабочего хода шпиндельной головки $L_{P,X}$.

$$\lambda = \frac{L_P}{L_{P.X}} \approx 1.$$

 $T_{\rm M} = 60$ мин.

 $T_P = 60 \cdot 1 = 60$ мин.

$$S_0 = 0.2 \text{ MM/o}6.$$

Рассчитаем скорость резания υ , частоту вращения инструментальных шпинделей n, а также минутную подачу S_M .

$$\upsilon = \upsilon_{TAE} \cdot K_1 \cdot K_2 \cdot K_3,$$

где $v_{\text{ТАБЛ}}$ – скорость резания по таблице, м/мин;

 K_1 – коэффициент, зависящий от обрабатываемого материала;

 K_2 – коэффициент, зависящий от отношения принятой подачи к подаче, указанной на карте C-3 [10];

К₃ – коэффициент, зависящий от стойкости инструмента.

 $\upsilon_{TAB}=15 \text{ M/MUH}.$

$$K_1 = 0.75$$
.

$$K_2 = 1,0.$$

$$K_3 = 0.95$$
.

$$\upsilon = 15 \cdot 0.75 \cdot 1 \cdot 0.95 = 10.7$$
 м/мин.

$$n = \frac{1000 \cdot \upsilon}{\pi \cdot D}.$$

$$n = \frac{1000 \cdot 10.7}{3.14 \cdot 19} = 179.3 \text{ MИН}^{-1}.$$

Принимаем по паспорту станка $n = 160 \text{ мин}^{-1}$.

Уточним значение скорости резания.

$$\upsilon = \frac{\pi \cdot D \cdot n}{1000} = \frac{3,14 \cdot 19 \cdot 160}{1000} = 9,55$$
 м/мин.

$$S_M = S_0 \cdot n = 0.2 \cdot 160 = 32 \text{ мм/мин.}$$

Рассчитаем основное время на обработку То.

$$T_0 = \frac{L_{P.X}}{S_M} = \frac{73}{32} = 2,28$$
 мин.

Переход 4. Точить поверхность, выдерживая размеры $\emptyset 19^{+0,52}$ и R2, выполнить фаску $1,5 \times 30^{0}$.

Режимы резания выберем, пользуясь литературой [10].

По [10] определим подачу S_0 =0,9 мм/об.

По [10] определим скорость V_0 =135 м/мин.

$$V = V_0 \cdot K_1 \cdot K_2 \cdot K_3 \cdot K_4,$$

где K_1 — поправочный коэффициент, учитывающий обрабатываемый материал;

 ${
m K}_2$ — поправочный коэффициент, учитывающий состояние обрабатываемой поверхности;

 K_3 – поправочный коэффициент, учитывающий материал резца;

 K_4 – поправочный коэффициент, учитывающий главный угол в плане.

Примем

 $K_1=1,35-$ для стали [10];

 $K_2=0,88$ – для поверхности с коркой [10];

 $K_3=0,65$ — для инструмента из твердого сплава [10];

 $K_4=1,0-$ для резца с $\phi=45^0$ [10].

Тогда $V = 135 \cdot 1,35 \cdot 0,88 \cdot 0,65 \cdot 1,0 = 104 \text{ м/мин.}$

Частота вращения

$$n = \frac{1000 V}{\pi D} = \frac{1000 \cdot 104}{3.14 \cdot 19} = 1741 \text{ MИH}^{-1}.$$

 n_{ϕ} =1600 мин⁻¹.

Фактическая скорость резания

$$V_{\phi} = \frac{\pi \cdot d \cdot n}{1000} = \frac{3,14 \cdot 19 \cdot 1600}{1000} = 95,5 \text{ м/мин.}$$

Минутная подача

$$S = S_0 \cdot n = 0.9 \cdot 1600 = 1440$$
 мм/мин.

Основное время

$$T_0 = \frac{L_{\delta\delta}}{S} = \frac{10}{1440} = 0,01$$
 мин.

2.9.5 Режимы резания на операцию 025 Токарная чистовая с ЧПУ.

Переход 1. Точить поверхности, выдерживая размеры $\emptyset 26_{-0,52}$, $92,3\pm0,37$, $\emptyset 31_{-0,62}$, $98,6\pm0,435$, $\emptyset 25,5_{-0,052}$, выполнить R4, выполнить фаску $1x45^{0}$.

Режимы резания выберем, пользуясь литературой [10].

По [10] определим подачу S_0 =0,2 мм/об.

По [10] определим скорость V_0 =135 м/мин.

$$V = V_0 \cdot K_1 \cdot K_2 \cdot K_3 \cdot K_4,$$

где K_1 — поправочный коэффициент, учитывающий обрабатываемый материал;

 K_2 — поправочный коэффициент, учитывающий состояние обрабатываемой поверхности;

К₃ – поправочный коэффициент, учитывающий материал резца;

 K_4 – поправочный коэффициент, учитывающий главный угол в плане.

Примем

 $K_1=1,35-$ для стали [10];

 $K_2=0,88$ – для поверхности с коркой [10];

 K_3 =0,65 – для инструмента из твердого сплава [10];

 $K_4=1,0-$ для резца с $\phi=45^0$ [10].

Тогда $V = 135 \cdot 1,35 \cdot 0,88 \cdot 0,65 \cdot 1,0 = 104 \text{ м/мин.}$

Частота вращения

$$n = \frac{1000 V}{\pi D} = \frac{1000 \cdot 104}{3.14 \cdot 48} = 690 \text{ MUH}^{-1}.$$

 $n_{\phi} = 630 \text{ мин}^{-1}$.

Фактическая скорость резания

$$V_{\phi} = \frac{\pi \cdot d \cdot n}{1000} = \frac{3,14 \cdot 48 \cdot 630}{1000} = 95 \text{ м/мин.}$$

Минутная подача

$$S = S_0 \cdot n = 0.2 \cdot 630 = 126$$
 мм/мин.

Основное время

$$T_0 = \frac{L_{\delta \tilde{o}}}{S} = \frac{85}{126} = 0,67$$
 мин.

Переход 2. Точить поверхность, выдерживая размер R4.

Режимы резания выберем, пользуясь литературой [10].

По [10] определим подачу S_0 =0,9 мм/об.

По [10] определим скорость V_0 =135 м/мин.

$$V = V_0 \cdot K_1 \cdot K_2 \cdot K_3 \cdot K_4,$$

где K_1 — поправочный коэффициент, учитывающий обрабатываемый материал;

 K_2 — поправочный коэффициент, учитывающий состояние обрабатываемой поверхности;

К₃ – поправочный коэффициент, учитывающий материал резца;

 K_4 – поправочный коэффициент, учитывающий главный угол в плане.

Примем

 $K_1=1,35-$ для стали [10];

 $K_2=0,88$ – для поверхности с коркой [10];

 $K_3=0,65$ — для инструмента из твердого сплава [10];

 $K_4=1,0-$ для резца с $\phi=45^0$ [10].

Тогда $V = 135 \cdot 1,35 \cdot 0,88 \cdot 0,65 \cdot 1,0 = 104 \text{ м/мин.}$

Частота вращения

$$n = \frac{1000V}{\pi D} = \frac{1000 \cdot 104}{3.14 \cdot 31} = 1068 \text{ MИН}^{-1}.$$

 $n_{\varphi} = 1000 \text{ мин}^{-1}$.

Фактическая скорость резания

$$V_{\phi} = \frac{\pi \cdot d \cdot n}{1000} = \frac{3,14 \cdot 31 \cdot 1000}{1000} = 97$$
 м/мин.

Минутная подача

$$S = S_0 \cdot n = 0.9 \cdot 1000 = 900$$
 мм/мин.

Основное время

$$T_0 = \frac{L_{\delta \delta}}{S} = \frac{4}{1000} = 0,004$$
 мин.

Переход 3. Сверлить отверстие $\emptyset 19^{+0.52}$ на длину L=5±0,2.

$$L = L_P + L_{\Pi} + L_{\Pi}, \qquad [10]$$

где L_P – длина резания;

 L_{Π} – величина подвода, врезания и перебега инструмента;

 $L_{\rm J}$ — дополнительная длина хода, вызываемая в ряде случаев особенностями наладки и конфигурации детали.

$$L_{II} = 8$$
 MM.

$$L_{\pi} = 0$$
 MM.

$$L = 65 + 8 + 0 = 73$$
 MM.

Определим стойкость инструментов.

$$T_P = T_M \cdot \lambda$$
,

где Т_м -стойкость в минутах основного времени работы станка;

 λ — коэффициент времени резания, равный отношению длины резания L_P инструмента к общей длине рабочего хода шпиндельной головки $L_{P,X}$.

$$\lambda = \frac{L_P}{L_{PX}} \approx 1.$$

 $T_{\rm M} = 60$ мин.

 $T_P = 60 \cdot 1 = 60$ мин.

$$S_0 = 0.2 \text{ MM/o}$$
6.

Рассчитаем скорость резания υ , частоту вращения инструментальных шпинделей n, а также минутную подачу S_M .

$$\upsilon = \upsilon_{TAE} \cdot K_1 \cdot K_2 \cdot K_3,$$

где $v_{\text{ТАБЛ}}$ – скорость резания по таблице, м/мин;

 K_1 – коэффициент, зависящий от обрабатываемого материала;

 K_2 – коэффициент, зависящий от отношения принятой подачи к подаче, указанной на карте C-3 [10];

 K_3 – коэффициент, зависящий от стойкости инструмента.

$$\upsilon_{TAB}$$
=15 м/мин.

$$K_1 = 0.75$$
.

$$K_2 = 1,0.$$

$$K_3 = 0.95$$
.

$$\upsilon = 15 \cdot 0.75 \cdot 1 \cdot 0.95 = 10.7$$
 м/мин.

$$n = \frac{1000 \cdot \upsilon}{\pi \cdot D}.$$

$$n = \frac{1000 \cdot 10.7}{3.14 \cdot 19} = 179.3 \text{ MUH}^{-1}.$$

Принимаем по паспорту станка $n = 160 \text{ мин}^{-1}$.

Уточним значение скорости резания.

$$\upsilon = \frac{\pi \cdot D \cdot n}{1000} = \frac{3,14 \cdot 19 \cdot 160}{1000} = 9,55$$
 м/мин.

$$S_M = S_0 \cdot n = 0.2 \cdot 160 = 32 \text{ MM/MИН}.$$

Рассчитаем основное время на обработку Т₀.

$$T_0 = \frac{L_{P.X}}{S_M} = \frac{73}{32} = 2,28 \text{ мин.}$$

Переход 4. Сверлить отверстие $\emptyset 8,5^{+0,036}$ на длину L= $25^{+0,2}$.

$$L = L_P + L_\Pi + L_\Pi, \qquad [10]$$

где L_P – длина резания;

 L_Π – величина подвода, врезания и перебега инструмента;

 $L_{\rm Д}$ — дополнительная длина хода, вызываемая в ряде случаев особенностями наладки и конфигурации детали.

$$L_{\pi}=2$$
 MM.

$$L_{\pi} = 0$$
 MM.

$$L = 25 + 2 + 0 = 27$$
 MM.

Определим стойкость инструментов.

$$T_P = T_M \cdot \lambda$$
,

где Т_м –стойкость в минутах основного времени работы станка;

 λ — коэффициент времени резания, равный отношению длины резания L_P инструмента к общей длине рабочего хода шпиндельной головки $L_{P,X}$.

$$\lambda = \frac{L_P}{L_{P.X}} \approx 1.$$

$$T_{\rm M} = 60$$
 мин.

$$T_P = 60 \cdot 1 = 60$$
 MUH.

$$S_0 = 0.2 \text{ MM/of}.$$

Рассчитаем скорость резания υ , частоту вращения инструментальных шпинделей n, а также минутную подачу S_M .

$$\upsilon = \upsilon_{TAB} \cdot K_1 \cdot K_2 \cdot K_3,$$

где $v_{\text{ТАБЛ}}$ – скорость резания по таблице, м/мин;

 K_1 – коэффициент, зависящий от обрабатываемого материала;

 K_2 – коэффициент, зависящий от отношения принятой подачи к подаче, указанной на карте C-3 [10];

К₃ – коэффициент, зависящий от стойкости инструмента.

 υ_{TAb} =15 м/мин.

 $K_1 = 0.75$.

 $K_2 = 1,0.$

 $K_3 = 0.95$.

 $\upsilon = 15 \cdot 0.75 \cdot 1 \cdot 0.95 = 10.7$ м/мин.

$$n = \frac{1000 \cdot \upsilon}{\pi \cdot D}.$$

$$n = \frac{1000 \cdot 10.7}{3.14 \cdot 8.5} = 400.9 \text{ MИН}^{-1}.$$

Принимаем по паспорту станка $n = 400 \text{ мин}^{-1}$.

Уточним значение скорости резания.

$$\upsilon = \frac{\pi \cdot D \cdot n}{1000} = \frac{3,14 \cdot 8,5 \cdot 400}{1000} = 10,68$$
 м/мин.

$$S_M = S_0 \cdot n = 0.2 \cdot 400 = 80$$
 мм/мин.

Рассчитаем основное время на обработку Т₀.

$$T_0 = \frac{L_{P.X}}{S_M} = \frac{27}{80} = 0.34 \text{ MUH}.$$

Переход 5. Точить поверхность, выдерживая размеры $\emptyset19^{+0,52}$ и R2, выполнить фаску $1,5\times30^{0}$.

Режимы резания выберем, пользуясь литературой [10].

По [10] определим подачу $S_0=0.9$ мм/об.

По [10] определим скорость V_0 =135 м/мин.

$$V = V_0 \cdot K_1 \cdot K_2 \cdot K_3 \cdot K_4,$$

где K_1 — поправочный коэффициент, учитывающий обрабатываемый материал;

 ${\rm K}_2$ — поправочный коэффициент, учитывающий состояние обрабатываемой поверхности;

К₃ – поправочный коэффициент, учитывающий материал резца;

 K_4 – поправочный коэффициент, учитывающий главный угол в плане.

Примем

 $K_1=1,35-$ для стали [10];

 $K_2=0,88$ – для поверхности с коркой [10];

 $K_3=0,65$ — для инструмента из твердого сплава [10];

 $K_4=1,0-$ для резца с $\phi=45^0$ [10].

Тогда $V = 135 \cdot 1,35 \cdot 0,88 \cdot 0,65 \cdot 1,0 = 104 \text{ м/мин.}$

Частота вращения

$$n = \frac{1000 V}{\pi D} = \frac{1000 \cdot 104}{3.14 \cdot 19} = 1741 \text{ MUH}^{-1}.$$

$$n_{\varphi} = 1600 \text{ мин}^{-1}$$
.

Фактическая скорость резания

$$V_{\phi} = \frac{\pi \cdot d \cdot n}{1000} = \frac{3,14 \cdot 19 \cdot 1600}{1000} = 95,5 \text{ м/мин.}$$

Минутная подача

$$S = S_0 \cdot n = 0.9 \cdot 1600 = 1440$$
 мм/мин.

Основное время

$$T_0 = \frac{L_{px}}{S} = \frac{10}{1440} = 0,007 \text{ MUH}.$$

2.9.6 Рассчитаем режимы резания на операцию 030 Зубофрезерная.

Фрезеровать прямые зубья m = 2 мм, z = 22.

Расчет длины рабочего хода

$$L_{PX} = L_{P} + L_{T} + L_{T}, {10}$$

где L_P – длина резания;

 L_{Π} – длина врезания и перебега;

 $L_{\rm J}$ – дополнительная длина хода.

$$L_P = b \cdot q$$
,

где b – ширина венца;

q – количество одновременно обрабатываемых деталей.

$$L_p = 25 \cdot 1 = 25$$
, MM.

 $L_{\Pi} = 5 \text{ MM}.$

$$L_{\pi}=0$$
.

$$L_{P.X.} = 25 + 5 + 0 = 30$$
, MM.

Назначим осевую подачу [10].

$$S_0 = S_{0,ma\delta n} \cdot K_1 \cdot K_2,$$

где $S_{0.\text{табл}} = 1,9 \text{ мм/об} - \text{подача по таблице [10]};$

 $K_1 = 0.9 -$ коэффициент, определяемый обрабатываемым материалом;

 $K_2 = 1,0$ - коэффициент, определяемый углом наклона зуба.

$$S_0 = 1.9 \cdot 0.9 \cdot 1 = 1.71$$
, mm/of.

Назначим скорость резания и определим частоту вращения фрезы.

$$\upsilon = \upsilon_{ma\delta\pi} \cdot K_1 \cdot K_2 \cdot K_3,$$

где $v_{\text{табл}} = 67 \text{ м/мин} - \text{скорость резания по таблице [10]};$

 $K_1 = 1,0$ – коэффициент, определяемый обрабатываемым материалом;

 $K_2 = 1,0 -$ коэффициент, определяемый количеством проходов;

 $K_3 = 1,0$ - коэффициент, определяемый материалом режущей части фрезы.

$$\upsilon = 67 \cdot 0.9 \cdot 1 \cdot 1 = 60.3$$
, M/MUH.

$$n = \frac{1000 \, \upsilon}{\pi \cdot D} = \frac{1000 \cdot 60,3}{3,14 \cdot 80} = 240$$
, мин⁻¹.

По паспорту станка принимаем n=200 мин⁻¹.

Уточним скорость резания

$$\upsilon_{\phi a \kappa m} = \frac{\pi \cdot D \cdot n}{1000} = \frac{3,14 \cdot 80 \cdot 200}{1000} = 50,24$$
, м/мин.

Определим величину осевой передвижки фрезы B и количество осевых передвижек фрезы W.

По таблице [10] В = 12.

$$W = \frac{l_p - (l_i + l_{\hat{e}})}{B},$$

где $l_p = 100$ мм – длина рабочей части фрезы;

 $l_{\rm H}, l_{\rm K}$ — величины начальной и конечной установки фрезы.

$$l_{u} = -\frac{3\pi \cdot m \cdot K}{\cos \beta} + \frac{\pi \cdot m}{4};$$

$$l_{\kappa} = -\frac{1,1 \cdot \pi \cdot m \cdot K}{\cos \beta} + \frac{\pi \cdot m}{4},$$

где K = 0,5 - коэффициент, определяемый числом зубьев колеса.

$$l_{_{H}} = -\frac{3 \cdot 3,14 \cdot 2 \cdot 0,5}{\cos 0} + \frac{3,14 \cdot 2}{4} = -7,85$$
, MM.

$$l_{\kappa} = -\frac{1,1 \cdot 3,14 \cdot 2 \cdot 0,5}{\cos 0} + \frac{3,14 \cdot 2}{4} = -1,884$$
, MM.

$$W = \frac{100 - (-7,85 - 1,884)}{12} = 7,522.$$

Принимаем W = 8.

Определим основное время T_0

$$T_0 = \frac{L_{P.X.} \cdot z}{n \cdot S_0 \cdot z_1 \cdot q}, \qquad [10]$$

где $z_1 = 3$ – количество заходов фрезы.

$$T_0 = \frac{30 \cdot 22}{200 \cdot 1.71 \cdot 3 \cdot 1} = 0.64$$
, мин.

2.9.7 Режимы резания на операцию 033 Сверлильная.

Сверлить 2 отверстия \emptyset 5,0^{+0,3} на длину L=50±0,31 и L=60±0,37.

$$L = L_P + L_{II} + L_{IJ}, \qquad [10]$$

где L_P – длина резания;

 L_{Π} – величина подвода, врезания и перебега инструмента;

 $L_{\rm J}$ — дополнительная длина хода, вызываемая в ряде случаев особенностями наладки и конфигурации детали.

$$L_{II} = 2$$
 MM.

$$L_{II} = 0$$
 MM.

$$L = 3.5 + 2 + 0 = 5.5$$
 MM,

Определим стойкость инструментов.

$$T_P = T_M \cdot \lambda$$
,

где Т_м –стойкость в минутах основного времени работы станка;

 λ — коэффициент времени резания, равный отношению длины резания L_P инструмента к общей длине рабочего хода шпиндельной головки $L_{P,X}$.

$$\lambda = \frac{L_P}{L_{P,X}} \approx 1.$$

 $T_{\rm M} = 50$ мин.

$$T_P = 50 \cdot 1 = 50$$
 мин.

$$S_0 = 0.11 \text{ MM/of} [10].$$

Рассчитаем скорость резания υ , частоту вращения инструментальных шпинделей n, а также минутную подачу S_M .

$$\upsilon = \upsilon_{TAB} \cdot K_1 \cdot K_2 \cdot K_3,$$

где $\upsilon_{\text{ТАБЛ}}$ – скорость резания по таблице, м/мин;

 K_1 – коэффициент, зависящий от обрабатываемого материала;

 K_2 – коэффициент, зависящий от отношения принятой подачи к подаче, указанной на карте C-3 [10];

К₃ – коэффициент, зависящий от стойкости инструмента.

$$v_{TAB} = 15 \text{ м/мин.}$$

$$K_1 = 0,7.$$

$$K_2 = 1,0.$$

$$K_3 = 1,0.$$

$$\upsilon = 15 \cdot 0.7 \cdot 1 \cdot 1 = 10.5$$
 м/мин.

$$n = \frac{1000 \cdot \upsilon}{\pi \cdot D} \,.$$

$$n = \frac{1000 \cdot 10,5}{3.14 \cdot 5} = 669 \text{ MUH}^{-1}.$$

Принимаем по паспорту станка $n = 630 \text{ мин}^{-1}$.

Уточним значение скорости резания.

$$\upsilon = \frac{\pi \cdot D \cdot n}{1000} = \frac{3,14 \cdot 5 \cdot 630}{1000} = 9,89$$
 м/мин.

$$S_M = S_0 \cdot n = 0.11 \cdot 630 = 69.3 \text{ MM/MUH}.$$

Рассчитаем основное время на обработку Т₀.

$$T_0 = \frac{L_{P.X}}{S_M} = \frac{2 \cdot 5.5}{69.3} = 0.16$$
 мин.

2.9.8 Режимы резания на операцию 035 Протяжная.

Переход 1. Протянем внутреннее отверстие в размер $Ø11^{+0,018}$ насквозь на длину $L=25\,$ мм.

Назначаем режимы резания при заданной геометрии протяжки. Подача обеспечивается самой протяжкой (подъёмом на зуб).

Устанавливаем группу обрабатываемости протягиваемого материала. По карте 1 [10] сталь 19ХГН относится к 3-й группе обрабатываемости.

Устанавливаем группу качества протягиваемой поверхности. По карте 2.

Цилиндрическое отверстие с точностью H7 с параметром шероховатости поверхности R_a 1,6 мкм относится ко 2-й группе качества поверхности. [10]

Выбираем вид смазочно—охлаждающей жидкости, по [10] для протягивания стали 3-й группы обрабатываемости и 2-й группы качества поверхности принимаем сульфофрезол (условное обозначение в карте «В»).

Осевая сила резания

$$\mathbf{P} = \mathbf{q}_0 \cdot \Sigma l_{\mathbf{p}} \cdot \mathbf{k}_{\mathbf{p}} ,$$

где q_0 - осевая сила резания (кгс), приходящаяся на 1 мм длины режущей кромки;

 $\Sigma l_{\rm p}$ — суммарная длина режущих кромок зубьев, одновременно участвующих в работе, мм;

 k_p — общий поправочный коэффициент на осевую силу резания, учитывающий изменённые условия работы.

Определяем q_0 [10] для $S=0{,}04$ мм на зуб и переднего угла $\gamma=20^{0}$, $q_0=7{,}2~{\rm K\Gamma C/MM}=72~{\rm H/MM}.$

Учитываем поправочные коэффициенты на осевую силу резания [10]:

 k_{pm} = 1, так как сталь 3-й группы обрабатываемости;

 k_{po} = 1, так как смазочно-охлаждающая жидкость — сульфофрезол;

 $k_{pp} = 1$, так как стружка разделяется на зубьях выкружками;

 $k_{p\kappa}=1$, так как поверхность имеет 2-ю группу качества протягиваемой поверхности, а сам инструмент перетачивается по передней поверхности.

Определяем $\Sigma l_{\rm p}$ для цилиндрических отверстий.

$$\Sigma l_p = \pi \cdot D \cdot Z_p / Z_c,$$

где D – наибольший диаметр зубьев протяжки

 Z_p – числа зубьев, одновременно участвующих в работе;

$$Z_c$$
 – число зубьев секции;

$$Z_p = l/t + 1,$$

где l-длина протягиваемой поверхности

t – шаг черновых зубьев.

$$Z_p = 25/8 = 3,25$$
. Принимаем $Z_p = 4$.

$$Z_{c} = 2$$
.

$$\Sigma l_p = 3.14 \cdot 14 \cdot 4/2 = 87.92 \text{ MM}.$$

Осевая сила резания

$$P = 7.2 \cdot 87.92 \cdot 1 \cdot 1 \cdot 1 \cdot 1 = 633$$
 kgc.

В единицах системы СИ
$$P = 9.81 \cdot 633 = 6210 \text{ H}.$$

Проверяем достаточная ли тяговая сила станка. Протягивание возможно при $P \le Q$, где Q — тяговая сила станка. У станка 7Б66 Q = 50 000H. Следовательно, протягивание возможно (6210 < 50 000).

Назначаем скорость резания [10]:

Для круглых протяжек, 3-й группы обрабатываемости; 2-й группы качества протягиваемой поверхности и среднесерийного производства принята скорость резания $V=8\,$ м/мин. Поправочный коэффициент на скорость резания k=1, так как рекомендуется протяжка из быстрорежущей стали P6M5.

Корректировка найденной скорости резания по паспортным данным станка не требуется, т.к. станок имеет бесступенчатое регулирование скорости в пределах 1.5 - 11.5 м/мин.

Определяем скорость резания, допускаемую мощностью электродвигателя станка:

$$V_{\partial on} = \frac{60 \cdot 102 \cdot N_{\mathcal{A}} \cdot \eta}{P},$$

где $N_{\text{Д}}$ – мощность двигателя;

Р – осевая сила резания.

По паспортным данным станка мощность его электродвигателя $N_{\text{Д}}$ =11 кBт,

$$\label{eq:KIIA} \begin{split} \text{KIIA} &= 0,85; \\ V_{\partial on} &= \frac{60\cdot 102\cdot 11\cdot 0,85}{633} = 90\,\text{м/ мин} \;. \end{split}$$

Таким образом, выполняется условие $V > V_{\text{доп}}~(8 < 90)$. Следовательно, принимаем скорость резания V = 8 м/мин ($\approx 0,13$ м/с).

$$T_0 = L V = 0.025 8 = 0.2$$
 мин.

Переход 2. Протянем внутренние шлицы d-6x11H7x14H11x3F10 насквозь на длину L=25 мм.

Назначим скорость резания V = 8 м/мин (≈ 0.13 м/с).

$$P = .633 \text{ Kpc} = 6210 \text{ H}.$$

$$T_0 = L V = 0.025 8 = 0.2$$
 мин.

2.9.9 Выберем режимы обработки на операцию 045 Зубошлифовальная.

Шлифовать зубья m=2, z=22, класс точности 7-В плоским профильным кругом.

Тип шлифовального круга 3. 4, марка шлифовального материала 24A, размер зерна 12-25, твердость СМ1-СМ3, структура 7, 8.

Рассчитаем длину рабочего хода

$$L_{PX} = b + (20...40)\cos\beta + \pi \cdot m \cdot tg\beta$$
, [10]

где b = - ширина зубчатого венца.

$$L_{PX} = 25 + 30 \cdot 1 + 0 = 55$$
, MM.

Определим припуск на толщину зуба

$$2p = 0.20 \text{ MM} [10].$$

Выберем радиальную подачу: $S_p = 0.02$ мм/дв.х.

Выберем продольную подачу: $S_{np} = 9$ мм/мин.

Количество проходов -3.

Выберем скорость шлифования υ=30 м/с.

Определим частоту вращения круга

$$n = \frac{1000\,\upsilon}{\pi \cdot d_{\mathit{KP}}} = \frac{1000 \cdot 30 \cdot 60}{3,14 \cdot 350} = 1638 \; , \; \mathrm{MИH}^{\text{-}1}.$$

2.9.10 Выберем режимы резания для операции 050 Шлифовальная.

Шлифовать поверхности, выдерживая размеры \emptyset 25,1_{-0,033}, 129,3±0,5.

Станок – торцекруглошлифовальный 3Т161.

Частота вращения шлифовального круга $n_{\kappa p} = 1112$ мин⁻¹.

Частота вращения детали $n_{\text{лет}} = 55 - 620 \text{ мин}^{-1}$.

Мощность 17 кВт.

Способ установки детали на станке в центрах.

Охлаждение — эмульсия.

Выбор шлифовального круга.

Для шлифования выбираем круг с Dк =600 и Вк = 63. По выбранному диаметру круга и паспортным данным станка определяем скорость вращения круга:

$$\upsilon_{\kappa} = \frac{\pi \cdot D_{\kappa} \cdot n_{\kappa}}{1000 \cdot 60} = \frac{3,14 \cdot 600 \cdot 1112}{1000 \cdot 60} = 35 \,\text{m/c}.$$

Для стали 19ХГН и заданном параметре шероховатости выбираем круг формой 1 600х16х305 25A F25 k6 V, на керамической связке.

Для обработки по диаметру $\emptyset 25,1$ мм назначаем скорость детали $\upsilon = 35$ м/мин и определяем частоту её вращения:

$$n_{\partial} = \frac{1000 \cdot \upsilon_{\partial}}{\pi \cdot D_{\partial}} = \frac{1000 \cdot 35}{3,14 \cdot 25,1} = 444$$
, MuH⁻¹.

Найденная частота вращения укладывается в паспортные данные станка.

Определим величину поперечной подачи S_P.

$$S_P = S_{P.TAE/I} \cdot K_1 \cdot K_2 \cdot K_3 \cdot K_4,$$

где $S_{P.ТАБЛ}$ – поперечная подача по таблице;

 K_1 — коэффициент, зависящий от обрабатываемого материала и скорости круга;

 K_2 — коэффициент, зависящий от точности обработки, шероховатости поверхности и припуска на сторону;

К₃ - коэффициент, зависящий от диаметра шлифовального круга;

 K_4 - коэффициент, учитывающий особенности торцекруглошлифовальной операции.

$$S_{P.TAБЛ} = 1,75 \text{ мм/мин.}$$
 [10] $K_1 = 0.8.$

 $K_2 = 0,7$ при припуске 0,1 на сторону.

$$K_3 = 0.9$$
.

Для
$$\frac{D_{\text{max 1}}}{D_{\text{1}}}$$
 = 1,36 K_4 = 1,2.

$$S_P = 1,75 \cdot 0,8 \cdot 0,7 \cdot 0,9 \cdot 1,2 = 1,06 \,\text{MM/MUH}.$$

По паспорту станка примем $S_P = 1$ мм/мин.

Назначим ускоренную подачу.

$$S_{O\tilde{N}\hat{E}} = 3 \cdot S_P = 3 \cdot 1 = 3 \text{ MM/MUH}.$$

Рассчитаем путь шлифования.

$$L_P = p + \Delta L$$
,

где p = 0.15 – максимальный припуск на сторону;

 $\Delta L = 0.05$ – гарантированный зазор.

$$L_P = 0.15 + 0.05 = 0.2$$
 MM.

Время выхаживания $T_{BMX} = 0.05$ мин.

Рассчитаем основное время на операцию Т₀.

$$T_0 = \frac{L_{\text{VCK}}}{S_{\text{VCK}}} + \sum \frac{L_{\text{P.i.}}}{S_{\text{P.i.}}} + T_{\text{BbIX}}.$$

$$T_0 = \frac{2}{3} + \frac{0.2}{1} + 0.05 = 0.92$$
 MUH.

2.9.11 Выберем режимы резания для операции 055 Шлифовальная чистовая.

Все расчеты приведены в п. 8.1.10.

$$\upsilon = 35 \text{ м/мин};$$

$$n_{\ddot{a}} = 444$$
, MUH⁻¹.

 $S_P = 1,06 \,\text{мм/мин}.$

$$T_0 = 0.92$$
 мин.

2.9.12 Выберем режимы резания для операции 060 Шлифовальная.

Шлифовать поверхность, выдерживая размер ø25,05_{-0,033}.

Станок –круглошлифовальный 3М193.

Частота вращения шлифовального круга $n_{\kappa p} = 1112$ мин⁻¹.

Частота вращения детали $n_{\text{дет}} = 55 - 620 \text{ мин}^{-1}$.

Мошность 17 кВт.

Способ установки детали на станке в центрах.

Охлаждение — эмульсия.

Выбор шлифовального круга.

Для шлифования выбираем круг с Dк =600 и Вк = 63. По выбранному диаметру круга и паспортным данным станка определяем скорость вращения круга:

$$\upsilon_{\kappa} = \frac{\pi \cdot D_{\kappa} \cdot n_{\kappa}}{1000 \cdot 60} = \frac{3,14 \cdot 600 \cdot 1112}{1000 \cdot 60} = 35 \,\mathrm{M/c}$$

Для стали 19ХГН и заданном параметре шероховатости выбираем круг формой 1 600х16х305 25A F25 k6 V, на керамической связке.

Для обработки по диаметру $\emptyset 25,1$ мм назначаем скорость детали $\upsilon = 35$ м/мин и определяем частоту её вращения:

$$n_{\delta} = \frac{1000 \cdot \nu_{\delta}}{\pi \cdot D_{\delta}} = \frac{1000 \cdot 35}{3,14 \cdot 25,05} = 444 \text{ , MUH}^{-1}.$$

Найденная частота вращения укладывается в паспортные данные станка.

Определим величину поперечной подачи S_P .

$$S_P = S_{P.TAEJI} \cdot K_1 \cdot K_2 \cdot K_3 \cdot K_4,$$

где $S_{P.TAБЛ}$ – поперечная подача по таблице;

 K_1 – коэффициент, зависящий от обрабатываемого материала и скорости круга;

 K_2 — коэффициент, зависящий от точности обработки, шероховатости поверхности и припуска на сторону;

К₃ - коэффициент, зависящий от диаметра шлифовального круга;

К₄ - коэффициент, учитывающий особенности круглошлифовальной операции.

 $S_{P.ТАБЛ} = 1,75 \text{ мм/мин.}$

[10]

 $K_1 = 0.8.$

 $K_2 = 0,7$ при припуске 0,1 на сторону.

$$K_3 = 0.9$$
.

Для
$$\frac{D_{\text{max 1}}}{D_1}$$
 = 1,36 K_4 = 1,2.

$$S_P = 1,75 \cdot 0,8 \cdot 0,7 \cdot 0,9 \cdot 1,2 = 1,06 \,\text{MM/MUH}.$$

По паспорту станка примем $S_P = 1$ мм/мин.

Назначим ускоренную подачу.

$$S_{VCK} = 3 \cdot S_P = 3 \cdot 1 = 3 \text{ MM/MUH}.$$

Рассчитаем путь шлифования.

$$L_P = p + \Delta L$$
,

где p = 0.15 – максимальный припуск на сторону;

 $\Delta L = 0.05$ — гарантированный зазор.

$$L_P = 0.15 + 0.05 = 0.2$$
 MM.

Время выхаживания $T_{BMX} = 0.05$ мин.

Рассчитаем основное время на операцию Т₀.

$$T_0 = \frac{L_{VCK}}{S_{VCK}} + \sum \frac{L_{P.i}}{S_{P.i}} + T_{BblX}.$$

$$T_0 = \frac{2}{3} + \frac{0.2}{1} + 0.05 = 0.92$$
 мин.

2.9.13 Выберем режимы резания для операции 065 Шлифовальная чистовая.

Все расчеты приведены в п. 8.1.12.

$$\upsilon = 35 \text{ м/мин};$$

$$n_{a} = 444$$
, MUH⁻¹.

$$S_P = 1,06 \,\text{мм/мин}.$$

$$T_0 = 0.92$$
 мин.

2.9.14 Выберем режимы резания для операции 070 Полировальная.

Полировать поверхность, выдерживая размеры $\emptyset 25k5(^{+0.011}_{+0.002})$.

Станок – шлифовально-полировальный 3В853.

Частота вращения шлифовального круга $n_{kp} = 1112$ мин⁻¹.

Частота вращения детали $n_{\text{дет}} = 55 - 620 \text{ мин}^{-1}$.

Мощность 17 кВт.

Способ установки детали на станке в центрах.

Охлаждение — эмульсия.

Выбор полировального круга.

Для полирования выбираем круг с Dк =600 и Вк = 63. По выбранному диаметру круга и паспортным данным станка определяем скорость вращения круга:

$$\upsilon_{\kappa} = \frac{\pi \cdot D_{\kappa} \cdot n_{\kappa}}{1000 \cdot 60} = \frac{3,14 \cdot 600 \cdot 1112}{1000 \cdot 60} = 35 \text{ m/c}.$$

Для стали 19XГН и заданном параметре шероховатости выбираем лепестковый круг зернистостью 8, углом наклона лепестков 0.

Для обработки по диаметру $\emptyset 25,1$ мм назначаем скорость детали $\upsilon = 25$ м/мин и определяем частоту её вращения:

$$n_{\delta} = \frac{1000 \cdot \upsilon_{\delta}}{\pi \cdot D_{\delta}} = \frac{1000 \cdot 25}{3,14 \cdot 25} = 318 \text{ , MMH}^{-1}.$$

Найденная частота вращения укладывается в паспортные данные станка.

Назначим продольную подачу по [10] $S_{np} = 4$ м/мин.

Назначим ускоренную подачу.

$$S_{VCK} = 3 \cdot S_{\Pi P} = 3 \cdot 4 = 12$$
 MM/MUH.

Радиальная деформация лепесткового круга

$$\delta = 1.5 \text{ MM}.$$
 [10]

Основное время определяется по формуле

$$T_0 = 10^{-2} \cdot \frac{F}{T} K_1 \cdot K_2 \cdot K_3$$
,

где F – площадь обрабатываемой поверхности;

Т – высота лепесткового круга;

 $K_1 = 1,0$ - коэффициент, зависящий от величин исходной и требуемой шероховатости поверхности;

 $K_2 = 0.36$ - коэффициент, зависящий от диаметра лепесткового круга;

 $K_3 = 0.82$ - коэффициент, зависящий от деформации лепесткового круга.

$$F=\pi\cdot d\cdot l=3,\!14\cdot 25\cdot 60=4710\ ,\ \mathrm{MM}^2.$$

$$T_0=10^{-2}\,\frac{4710}{63}1\cdot 0,\!36\cdot 0,\!82=0,\!22\ ,\ \mathrm{MИH}.$$

2.9.15 Выберем режимы резания для операции 075 Полировальная.

$$v_{\rm K} = 35$$
 м/мин; [10] $n_{\rm K} = 1112$, мин $^{-1}$; $v_{\rm Д} = 25$ м/мин; $n_{\ddot{a}} = 318$, мин $^{-1}$; $S_{\ddot{IP}} = 4$ мм/мин; $T_0 = 0.22$ мин.

3 ПРОЕКТИРОВАНИЕ СТАНОЧНОГО

ПРИСПОСОБЛЕНИЯ

3.1 Анализ конструкции базового приспособления и сущность усовершенствования.

На токарной чистовой операции 025 для базирования и закрепления заготовки применяются самоцентрирующий трёхкулачковый патрон. Зажим изделия осуществляется наружным захватом трёх кулачков по цилиндрической поверхности ø25,5. Недостатком данного приспособления является его громоздкость и дороговизна.

Для устранения данного недостатка предлагаем применить патрон меньшего размера с клиновым зажимом.

3.2 Расчёт усилий резания.

Расчёт сил резания выполняем по методике, изложенной в [11].

При точении заготовки составляющие P_z и P_y рассчитывают по формуле:

$$P_{z_1 y} = 10C_p \cdot t^x \cdot S^y \cdot V^n \cdot K_p,$$
(3.1)

где C_p , x, y, n - постоянная и показатели степени для конкретных условий обработки.

При обработки стали резцом, оснащённым пластиной из твёрдого сплава, равны: для P_z =300; x=1,0; y=0,75; n=-0,15;

Для
$$P_y$$
- C_p =243; x =0,9; y =0,6; n =-0,3 [12]

K_p – поправочный коэффициент

$$K_{p} = K_{mp} \cdot K_{yp} \cdot K_{jp} \cdot K_{\pi p},$$

(3.2)

где K_{mp} - коэффициент учитывающий влияние качества обрабатываемого материала на силовую зависимость.

Для стали
$$K_{\text{мp}} = \left(\frac{\delta_{\scriptscriptstyle g}}{750}\right)^{0.75},$$
 (3.3)

$$K_{Mp} = \left(\frac{650}{750}\right)^{0.75} = 0.898$$
,

где K_{yp} ; K_{jp} ; K_{np} – коэффициенты учитывающие влияние геометрии режущей части инструмента на силы резания

$$\varphi = 60^{\circ}; K_{yp_{z}} = 0.94; K_{yp_{y}} = 0.8; \gamma = -3^{\circ}; K_{p_{z}} = 1.05; K_{p_{z}} = 1.5; \lambda = +0.5^{\circ}; K_{np_{z}} = 1.03; K_{np_{y}} = 1.15$$

$$K_{p_{z}} = K_{Mp} \cdot K_{yp_{z}} \cdot K_{pp_{z}} \cdot K_{np_{z}} = 0.898 \cdot 0.94 \cdot 1.05 \cdot 1.03 = 0.9129$$

$$K_{p_{y}} = K_{Mp} \cdot K_{yp_{y}} \cdot K_{pp_{y}} \cdot K_{np_{y}} = 0.898 \cdot 0.8 \cdot 1.5 \cdot 1.15 = 1.279$$

$$P_{z} = 10 \cdot 300 \cdot 0.25^{1.0} 0.2^{0.75} \cdot 95^{-0.15} \cdot 0.9129 = 103.42 \hat{I}$$

$$P_{\phi} = 10 \cdot 243 \cdot 0.25^{0.9} 0.2^{0.6} \cdot 95^{-0.3} \cdot 1.279 = 86.68 \hat{I}$$

3.3 Расчёт усилия зажима.

Выведем формулы для расчёта усилия зажима W. Суммарный крутящий момент от касательной составляющей силы резания стремится провернуть изделие на кулачках и равен для данной схемы установки.

$$M p = \frac{P_z d_1}{2} = \frac{103,42 \cdot 25,5}{2} = 1319 H$$
(3.4)

Повороту заготовки препятствует момент силы зажима, который определяется по формуле:

$$M_3 = \frac{Td_2}{2} = \frac{Wfd_2}{2},$$
(3.5)

где W — суммарное усилие зажима приходящее на три кулачка, H f — коэффициент трения на рабочие поверхности сменного кулачка,

Из равенства моментов M_p и M_3 .определим необходимое усилие зажима, препятствующее повороту изделие в кулачках:

$$W^{1} = \frac{KM_{p}}{fd_{2}} = \frac{Kp_{z} \cdot d_{1}}{fd_{2}},$$
(3.6)

Значение коэффициента запаса К в зависимости от конкретных условий выполнения технологической операции определяется по формуле:

$$K = K_0 \cdot K_1 \cdot K_1 \cdot K_2 \cdot K_3 \cdot K_4,$$
 (3.7)
$$K_{p_z} = 1.5 \cdot 1.2 \cdot 1.0 = 1.8 \quad \text{K}_{py} = 2.52.$$
 f=0,3 отсюда
$$W_z^1 = \frac{K \cdot P_z \cdot d_1}{f \cdot d_2} = \frac{1.8 \cdot 103.42 \cdot 48}{0.3 \cdot 25.5} = 1168 \dot{I} .$$

Сила P_y стремиться вывернуть изделие из кулачков относительно OO_1 создавая момент от силы зажима

$$M_p^{11} = P_y \ell$$
. (3.8)

Этому моменту препятствует момент от силы, зажима

$$M_3^{11} = T\frac{2}{3}d_2 = \frac{2}{3}W^1 f d_2.$$
(3.9)

Необходимая сила зажима равна

Величина усилия W_1 , прикладываемая к кулачкам несколько увеличивается по сравнению с усилием W и рассчитывается по формуле:

$$W_{1} = \frac{W}{1 - \left(\frac{3\ell_{k}}{M_{k}} \cdot f_{1}\right)} = \frac{1168}{1 - \left(\frac{3 \cdot 29,7}{25} \cdot 0,1\right)} = 1815, \text{ H.}$$
(3.10)

3.4 Расчёт зажимного механизма клинового патрона.

При расчёте зажимного механизма клинового патрона по определённому усилию W_1 определяется усилие Q, создаваемое силовым

приводом, которое зажимным механизмом увеличивается и передаётся каждому кулачку.

$$Q = \frac{W_1}{i_c}$$
, где i - передаточное отношение по силе зажимного механизма.

Данное соотношение для клинового механизма находим по формуле:

$$i_{c.kn} = \frac{1}{tg(\alpha + \varphi) + tg\varphi_1},$$
(3.11)

где α - угол наклона клина (рекомендуемый $\alpha = 15...30^{\circ}; [12]$).

Принимаем α =20°; ϕ и ϕ ¹ – углы трения на поверхностях кулачка и штока и изделия. Углы ϕ и ϕ ¹ определим по формуле:

$$\varphi = arctg \cdot f_1 = arctg \cdot 0,1 = 5^o 43^1$$
, отсюда:

принимаем $\varphi = \varphi^1 = 6^\circ$

Следовательно, передаточное отношение:

$$i_{c.kn.} = \frac{1}{tg(20^{\circ} + 6^{\circ}) + tg6^{\circ}} = 1.9$$

отсюда
$$Q = \frac{W}{i_{c.p.}} = \frac{1815}{1,9} = 955 H$$
 .

3.5 Расчёт силового привода.

Для создания исходного усилия Q используется силовой привод устанавливаемый на задний конец шпинделя. В его конструкции можно выделить силовую часть, вращающуюся совместно со шпинделем и муфту для подвода рабочей среды (см. рис. 3.1). В качестве приводов наибольшее применение получили пневматический и гидравлический вращающиеся цилиндры.

В сравнительном расчёте попытаемся применить пневматический привод, так как в любом производстве имеются трубопроводы для подачи сжатого воздуха. Диаметр поршня пневмоцилиндра определим по формуле:

$$L = 1.13\sqrt{\frac{Q}{P}}$$
; (3.15)

где P – избыточное давление воздуха, принимаемое в расчётах равным $0.4~\mathrm{m}\Pi a.$

В конструкцию токарного станка можно встроить силовой привод с диаметром поршня не более 120 мм. Если при расчёте по формуле (3.15) диаметр поршня получиться более 120 мм, то следует применять гидравлический привод, где за счёт регулирования давления масла.

Можно получить большие исходные усилия. При заданном усилии Q подбираем давление масла (P_r =1.0; 2,5; 5,0; 7,5 МПа)

Чтобы диаметр поршня не превышал 120 мм, отсюда

$$D = 1.13 \sqrt{\frac{955}{0.4}} = 78.8$$
, MM.

Принимаем диаметр поршня D= 80 мм.

Ход поршня рассчитываем по формуле:

$$S_a = \frac{S_w}{i_n}; (3.16)$$

где S_w – свободный ход кулачков S_w = 0,4 мм с точностью базирования 0,01 мм на диаметр, отсюда:

$$i_n = \frac{1}{i_c}$$
 - передаточное отношение зажимного механизма по

перемещению;

$$i_n = \frac{1}{1,9} = 0.52$$
, следовательно

$$S_a = \frac{0.4}{0.52} = 7.6$$
 mm.

Значение S_a следует принимать с запасом 10...15 мм, а значит S_a =20 мм

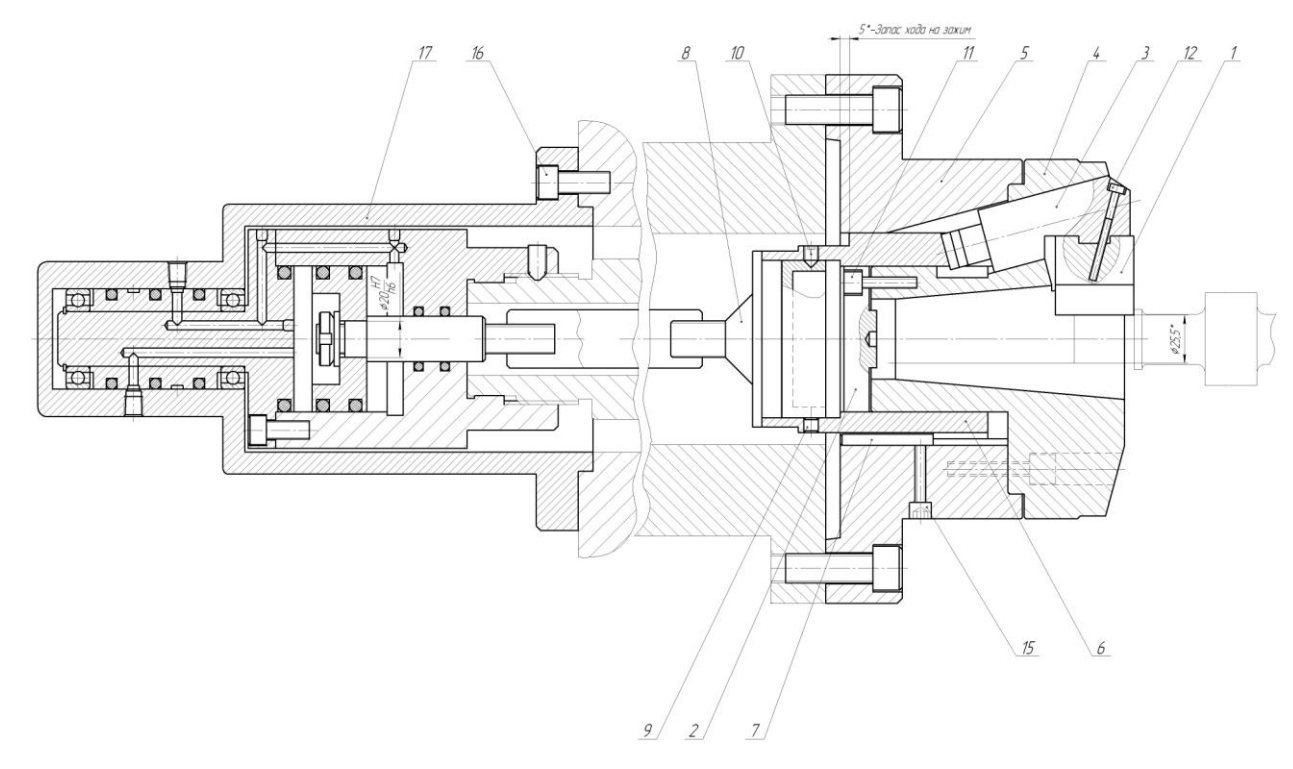


Рис. 3.1. Схема установки заготовки

3.7 Описание конструкции патрона.

Клиновой патрон предназначен для базирования и закрепления корпуса при черновом точении ряда поверхностей на токарном станке.

Клиновой патрон состоит из кулачков 1 в количестве 3 штук, штока 2, рычагов 3, скользящих по конической поверхности головки 4, корпуса 5, втулки 6, тяги 8, при помощи которой пневмоцилиндр 17 осуществляет автоматический зажим заготовки.

Клиновой патрон работает следующим образом. В левую полость пневмоцилиндра 17 подается под давлением воздух, который толкает поршень со штоком вправо. Через тягу 8 и втулку 6 движение передается рычагу 3, который, скользя по наклонной поверхности головки 4 верх, тянет за собой кулачки вверх и деталь разжимается.

При подачи воздуха в правую полость пневмоцилиндра поршень, шток и тяга патрона двигаются влево, втулка тянет за собой рычаг 3 вниз по наклонной поверхности и кулачки зажимают заготовку.

4 ПРОЕКТИРОВАНИЕ РЕЖУЩЕГО ИНСТРУМЕНТА

На операции Протяжная производят обработку посадочного отверстия вала привода круглой протяжкой. Необходимо спроектировать протяжку на операцию. Начальный диаметр отверстия (до обработки) D=8,5 мм, после обработки отверстие должно быть Ø $11H7(^{+0,018})$.

- 4.1 Расчет режущей части протяжки [13].
- 4.1.1 Исходные данные.

Таблица 4.1 - Исходные данные о заготовке

Наименование параметра		Обозначен	Единица	Значение
		ие	измерен	параметр
			ия	a
Диаметр	Под	D_0		8,5 ^{+0,036}
отверстия	протягиван			
	ие			
	После	D	-	11H7(^{+0,0}
	протягиван			¹⁸)
	ия		MM	
Предельное	Верхнее	ES	-	+0,018
отклонение	Нижнее	EI	-	0
диаметра D				
Длина протягиван	ИЯ	L_0		25
Обрабатываем	Марка	СЧ25 ГОСТ 1412-85		5
ый материал	Предел	$\sigma_{\scriptscriptstyle B}$	МПа	280
	прочности			

- 4.1.2 Расчет геометрических параметров режущей части протяжки.
- 4.1.2.1 Назначаем передний и задний угол протяжки.

Задний угол режущих зубьев принимаем $\alpha_{r0}=3^{\circ}$.

Передний угол для чугуна с $\sigma_B \leq 600 \text{ M}\Pi \text{a} \ \gamma_{r0} = 18^{\circ}$.

4.1.2.2 Определяем припуск под протягивание.

$$D_{\text{max}} = D + \frac{1}{2}IT = 11 + \frac{1}{2}0,018 = 11,009$$
, MM.

$$A = \frac{D_{\text{max}} - D_0}{2} = \frac{11,009 - 8,5}{2} = 1,255$$
, MM.

4.1.2.3 Рассчитываем шаг режущих зубьев по эмпирической формуле $t = (1,25\dots 1,5)\ \sqrt{L_0}$,

$$t = 1.3\sqrt{25} = 6.5$$
, MM.

Принимаем шаг режущих зубьев t=8 мм.

4.1.2.4 По величине t назначаем размеры стружечных канавок:

h = 3;

c = 3;

r = 1,5;

R = 7;

 $F_K = 7.07$.

4.1.2.5 Рассчитываем толщину среза, приходящегося на один зуб протяжки

$$a_Z = \frac{F_K}{K L_0} = \frac{7,07}{4 25} = 0,071$$
,

где К=4.

4.1.2.6 Определяем число одновременно работающих зубьев

$$q = \frac{L_0}{t} + 1 = \frac{25}{8} + 1 = 5$$
.

4.1.2.7 Рассчитываем силу, приходящуюся на 1 мм длины обрабатываемого контура

$$P_Z = C_p \quad \sigma_e \quad a_Z^{0.85} \quad K_v$$

где C_p =4,3 для легированных сталей,

$$K_{\gamma} = \frac{90 \quad \gamma}{75} = \frac{90 \quad 18}{75} = 0.96$$
.

$$P_Z = 4.3 \quad 280 \quad 0.071^{0.85} \quad 0.96 = 122.030 \text{ , H.}$$

4.1.2.8 Рассчитываем усилие протягивания

$$P_T = \pi$$
 P_Z D $q = 3,14$ 122,03 11 $5 = 21074,58$, H,

а также напряжения в канавке перед первым зубом

$$\sigma_1 = \frac{4}{\pi (D_0 - 2h)^2} = \frac{4}{3,14(8,5 - 2 - 4)^2} = 5,81$$
, M Π a.

Условие, где $\sigma_1 \le [\sigma_n]$, при $[\sigma_n] = 400...450$ МПа выполняется.

- 4.1.2.9~ По таблице выбираем наибольший диаметр хвостовика $d_1 = 8~\text{мм}.$
- 4.1.2.10 Рассчитываем напряжение в опасном сечении хвостовика,

$$\sigma_x = \frac{P_T}{F_x} = \frac{21074,58}{35,4} = 595,3, \text{ M}\Pi \text{a},$$

где площадь опасного сечения $F_x=35,4$ мм².

4.1.2.11 Рассчитываем число черновых зубьев протяжки

$$z = \frac{A - a'_z z'}{a_z} + 1.$$

Число чистовых зубьев z'=1...3, толщина среза $a'_z < a_z$.

Величину а_г принимаем равным 0,01 мм.

$$z = \frac{1,255 - 0,024 \cdot 2}{0.071} + 1 = 18.$$

4.1.2.12 Рассчитываем номинальные диаметры черновых режущих зубьев:

$$D_i = D_0 + 2a_z(i - 1)$$
.

$$D_1 = 8.5 + 2 \cdot 0.071 (1-1) = 8.5, MM.$$

$$D_2 = 8.5 + 2 \cdot 0.071 (2-1) = 8.642$$
, mm.

$$D_3 = 8.5 + 2 \cdot 0.071 (3-1) = 8.784, MM.$$

$$D_4 = 8.5 + 2 \cdot 0.071 (4-1) = 8.926, \text{ mm}.$$

$$D_5 = 8.5 + 2 \cdot 0.071 (5-1) = 9.068$$
, mm.

$$D_6 = 8.5 + 2 \cdot 0.071 (6-1) = 9.210$$
, MM.

$$D_7 = 8.5 + 2 \cdot 0.071 (7-1) = 9.352$$
, mm.

$$D_8 = 8.5 + 2 \cdot 0.071 (8-1) = 9.494, MM.$$

$$D_9 = 8.5 + 2 \cdot 0.071 (9-1) = 9.636, MM.$$

$$D_{10} = 8.5 + 2 \cdot 0.071 (10-1) = 9.778$$
, MM.

$$D_{11} = 8.5 + 2 \cdot 0.071 (11-1) = 9.920$$
, MM.

$$D_{12} = 8.5 + 2 \cdot 0.071 (12-1) = 10.062, MM.$$

$$D_{13} = 8.5 + 2 \cdot 0.071 (13-1) = 10.204, MM.$$

$$D_{14} = 8.5 + 2 \cdot 0.071 (14-1) = 10.346, MM.$$

$$D_{15} = 8.5 + 2 \cdot 0.071 (15-1) = 10.488$$
, mm.

$$D_{16} = 8.5 + 2 \cdot 0.071 (16-1) = 10.630$$
, MM.

$$D_{17} = 8.5 + 2 \cdot 0.071 (17-1) = 10,772, MM.$$

$$D_{18} = 8.5 + 2 \cdot 0.071 (18-1) = 10.914$$
, MM.

Рассчитываем номинальные диаметры чистовых режущих зубьев:

$$D_{Y_1} = D_Z + 2a'_z j$$
.

$$D_{41} = 10,914 + 2 \cdot 0,024 \ 1 = 10,962, MM.$$

$$D_{42} = 10,914 + 2 \cdot 0,024 \ 2 = 11,009, \text{ mm}.$$

4.1.2.13 Рассчитываем длину режущей части протяжки

$$l_p = t(z + z') = 8(18 + 2) = 160$$
, MM.

- 4.1.3 Расчет параметров калибрующей части протяжки.
- 4.1.3.1 Выбираем задний угол $\alpha_{rK} = 1^{\circ}$, передний угол $\gamma_{rK} = 1^{\circ}$.
- 4.1.3.2 Выбираем число калибрующих зубьев по таблице, в зависимости от квалитета точности изготавливаемого отверстия для H7 $\mathbf{z}_{\kappa}=7.$
 - 4.1.3.3 Рассчитываем шаг калибрующих зубьев

$$t_{\kappa} \approx (2/3) t \approx 5.5 \text{ mm}.$$

4.1.3.4 Номинальный диаметр всех калибрующих зубьев

$$D_{\kappa} = D_{max} = 11,009 \text{ MM}.$$

На зубьях предусматривают ленточку шириной f = 0,2...0,3 мм.

Принимаем f = 0,3 мм в целях удобства переточки.

4.1.3.5 Рассчитываем длину калибрующей части

$$l_{K} = t_{K} Z_{K} = 5.5 \quad 7 = 38.5 \text{ MM}.$$

- 4.2 Конструктивные элементы протяжки.
- 4.2.1 Геометрию и размеры хвостовика назначаем в соответствии с [14].
 - 4.2.2 Выбираем длину передней направляющей

$$l_{\text{IIH}} = (0,8...1,0) L_0 = 1 25 = 25 \text{ MM}.$$

Длину задней направляющей

$$l_{3H} = (0,6...0,8) L_0 = 0,8 25 = 20 \text{ MM}.$$

Расстояние до первого зуба

$$L_1 = 125 + l_{\text{IIH}} = 125 + 25 = 150 \text{ MM}.$$

4.2.3 Рассчитываем общую длину протяжки

$$L = L_1 + l_p + l_k + l_{3H} = 150 + 160 + 38,5 + 20 = 368,5 \text{ MM}.$$

4.2.4 Выбираем конфигурацию стружкоразделительных канавок

$$\varepsilon = 60^{\circ}$$
; m = 0,7; R_c = 0,4 mm.

Рассчитываем количество канавок по формуле

$$n_C = 1.85\sqrt{D} = 1.85\sqrt{11} = 6$$
.

Канавки расположены в шахматном порядке со смещением на угол

$$\frac{180}{n_C} = \frac{180}{60} = 30^{\circ}.$$

- 4.2.5 Для изготовления, контроля и заточки протяжек их выполняют с центровыми отверстиями формы В по ГОСТ 14034-74.
- 4.2.6 Протяжки изготавливают сварными, соединяя с помощью контактной стыковой электросварки сплавлением режущую часть из быстрорежущей стали ГОСТ 19265-73 [15] с хвостовой частью из углеродистой стали ГОСТ 1050-74 [16] или легированной конструкционной стали ГОСТ 4543-71 [17].

Твердость после термообработки: режущей части HRC 62...66, хвостовой части HRC 44...50.

- 4.2.7 Допуски на размеры хвостовика:
- на диаметр d_1 по е8;
- на диаметр d₂ по c11;

- на диаметр d_3 с верхним отклонением 0,5 мм, нижним 1,0 мм;
- на размер b по e8.

5 БЕЗОПАСНОСТЬ И ЭКОЛОГИЧНОСТЬ ТЕХНИЧЕСКОГО ОБЪЕКТА

Тема выпускной квалификационной работы: «Техпроцесс изготовления вала привода ленточного конвейера».

5.1 Конструктивно-технологическая характеристика объекта.

В данном разделе приводится наименование технических устройств, которые были изменены и отличаются от базового техпроцесса. Нами в работе модернизирована 020 Токарная чистовая операция, где произведена замена зажимного приспособления на автоматизированное с пневмоприводом.

Проведем анализ безопасности и экологичности технического объекта, используя источник [19].

Таблица 5.1 - Технологический паспорт объекта.

No	Техноло	Технолог	Наименова	Оборудован	Материа
	гическо	ическая	ние	ие,	лы,
П	e	операция	должности	устройство,	веществ
/	устройс	, вид	работника,	приспособле	a
П	TBO	выполняе	выполняю-	ние	
		мых	щего		
		работ	операцию		
1	Чистово	Операция	Оператор	Токарный	Сталь
	e	020	станка с	станок с	19ХГН;
	точение	Токарная	числовым	числовым	ТВЮ
		чистовая	программн	программны	сплав
			ЫМ	M	Т15К6,
			управление	управленем	бр.
			M	16Б16Т1С1;	сталь
				патрон	P6M5;
				трехкулачко	СОЖ:
				вый с	эмульси
				пневмоприво	я ЭТ-2
				ДОМ	

5.2 Идентификация производственно-технологических и эксплуатационных профессиональных рисков.

В данном разделе приводится наименование модернизированных технологических операций технического объекта из таблицы 5.1, наименование опасных и вредных производственных факторов [19], ΓΟСΤ 12.0.003-74 ССБТ, согласно наименование используемого производственно-технологического И инженерно-технического оборудования, материалов, веществ, которые являются источником вредного производственного фактора, опасного нормативная техническая документация.

Таблица 5.2 – Идентификация профессиональных рисков.

№ π/π	Производственно- технологическая и/или эксплуатационно- технологическая операция, вид выполняемых работ	Опасный и /или вредный производственный фактор	Источник опасного или вредного производственного фактора
1	Операция 020 Токарная чистовая с ЧПУ	1) Повышенный уровень вибрации на рабочем месте. 2) Повышенный уровень шума на рабочем месте. 3) Опасность поражения электрическим током. 4) В связи с использование СОЖ повышенная загазованность на рабочем месте.	Токарный станок с числовым программным управленем 16Б16Т1С1

5.3 Методы и технические средства снижения профессиональных рисков.

В данном разделе подобраны используемые организационнотехнические методы и технические средства защиты, частичного снижения, или полного устранения опасного и вредного производственного фактора. [19]

Таблица 5.3 — Методы и средства снижения воздействия опасных и вредных производственных факторов (уже реализованных и дополнительно или альтернативно предлагаемых для реализации в рамках выпускной квалификационной работы).

No	Опасный и / или	Организационные	Средства
Π/Π	вредный	методы и	индивидуальной
	производственный	технические	защиты работника
	фактор	средства защиты,	1
		снижения,	
		устранения	
		опасного или	
		вредного	
		производственного	
		фактора	
1	Повышенный	Станок установлен	Костюм хлопчато-
	уровень вибрации	на демпфирующих	бумажный или
	на рабочем месте	опорах, которые	вискозно-
		значительно	лавсановый
		снижают уровень	
		вибрации	
2	Повышенный	Оператор	Наушники
	уровень шума на	выполняет работу,	защитные. Костюм
	рабочем месте	одев при этом	хлопчато-
		наушники	бумажный или
		защитные.	вискозно-
		Наличие вытяжки	лавсановый
		на рабочем месте	
		снижает уровень	
		шума.	
3	Опасность	Ограждение и	Костюм и брюки
	поражения	электрическое	хлопчато-
	электрическим	заземление	бумажные или
	ТОКОМ	оборудования	вискозно-
			лавсановый;

			ботинки кожаные;
			рукавицы
			хлопчатобумажные.
4	В связи с	Оператор должен	Респиратор
	использование	быть одет в	фильтрующий
	СОЖ возникает	респиратор	
	повышенная	фильтрующий.	
	загазованность на		
	рабочем месте.		

5.4 Обеспечение пожарной и техногенной безопасности рассматриваемого технического объекта (производственно-технологических эксплуатационных и утилизационных процессов).

В данном разделе проводится идентификация потенциального возникновения класса пожара и выявленных опасных факторов пожара с разработкой технических средств и организационных методов по обеспечению и улучшению пожарной безопасности технического объекта (производственно-технологического и инженерно-технического оборудования, произведенной продукции, используемых сырьевых материалов с указанием реализующиеся пожаробезопасных характеристик произведенных технических объектов в процессах их эксплуатации. [19]

5.4.1 Идентификация опасных факторов пожара.

Таблица 5.4 – Идентификация классов и опасных факторов пожара.

№	Участо	Оборудова	К	Опасные	Сопутствующи
	к,	ние	Л	факторы	е проявления
П	подраз		a	пожара	факторов
/	делени		c		пожара
П	e		c		
			П		
			O		
			Ж		
			a		
			p		
			a		
1	Цех	Токарный	Е	1) тепловой	1) замыкание
	механи	станок с		поток;	высокого

ческой	числовым	2) пламя и	электрическог
обрабо	программн	искры;	о напряжения
тки		a \ 1	на
ТКИ	ЫМ	· ·	
	управлене	видимости в	токопроводящ
	M	дыму;	ие части
	16Б16Т1С1	4) пониженная	технологическ
		концентрация	их установок,
		кислорода в	оборудования,
		задымленных	агрегатов,
		пространствен	изделий и
		ных зонах;	иного
		5) повышенная	имущества;
		концентрация	2)
		токсичных	образующиеся
		продуктов	в процессе
		горения и	пожара части
		термического	разрушившихс
		10pwiri-10ckui u	я
			производствен
			ного и
T.a. o. = o	 		инженерно-
<u>Тродолжение</u>	1aon. 3.4	разложения;	технического
		/	оборудования;
		видимости в	3)
		дыму.	образующиеся
			токсичные
			вещества и
			материалы,поп
			авшие в
			авшие в окружающую
			окружающую
			окружающую среду из
			окружающую среду из разрушенных
			окружающую среду из разрушенных пожаром технологическ
			окружающую среду из разрушенных пожаром технологическ их установок;
			окружающую среду из разрушенных пожаром технологическ их установок; 4)
			окружающую среду из разрушенных пожаром технологическ их установок; 4) термохимическ
			окружающую среду из разрушенных пожаром технологическ их установок; 4) термохимическ ие воздействия
			окружающую среду из разрушенных пожаром технологическ их установок; 4) термохимическ ие воздействия используемых
			окружающую среду из разрушенных пожаром технологическ их установок; 4) термохимическ ие воздействия используемых при пожаре
			окружающую среду из разрушенных пожаром технологическ их установок; 4) термохимическ ие воздействия используемых при пожаре огнетушащих
			окружающую среду из разрушенных пожаром технологическ их установок; 4) термохимическ ие воздействия используемых при пожаре огнетушащих веществ на
			окружающую среду из разрушенных пожаром технологическ их установок; 4) термохимическ ие воздействия используемых при пожаре огнетушащих

			5)	опасные
			факто	ры
			взрыв	a,
			возни	кающие
			вслед	ствие
			проис	шедшего
			пожар	oa.

5.4.2. Разработка технических средств и организационных мероприятий по обеспечению пожарной безопасности технического объекта.

Технические средства обеспечения пожарной безопасности сведем в таблицу 5.5, где перечислим первичные, мобильные средства пожаротушения, стационарные установки системы пожаротушения средства пожарной автоматики пожарное оборудование, средства индивидуальной защиты и спасения людей при пожаре, пожарный инструмент и пожарные сигнализация, связь и оповещение.

Таблица 5.5 - Технические средства обеспечения пожарной безопасности.

Перв	Моби	Стац	Сред	По	Средст	По	По
ичн	льны	иона	ства	жар	ва	жар	жар
ые	e	рные	пожа	ное	индив	ный	ные
сред	средс	устан	рной	обо	идуаль	инс	сиг
ства	тва	ОВКИ	авто	руд	ной	тру	нал
пожа	пожа	систе	мати	ова	защит	мен	иза
роту	роту	МЫ	ки	ние	ы и	T	ция,
шен	шени	пожа			спасен	(ме	связ
ия	Я	роту			ия	хан	ь и
		шени			людей	ИЗИ	опо
		Я			при	ров	вещ
					пожар	анн	ени
					e	ый	e.
						И	
						нем	
						exa	
						ни3	
						иро	
						ван	
						ный	
)	
Огне	Пожа	Пожа	Авто	Нап	Респир	Лоп	Авт
туш	рные	рные	матиз	орн	аторы,	аты,	ома
ител	авто	гидра	ирова	ые	против	ЛОМ	тич
И,	моби	НТЫ	н ые	пож	огазы	Ы,	еск
ящи	ли,		средс	арн		вед	ие
ки с	пожа		тва	ые		pa	дат
песк	рные		пожа	рук			чик
OM	лестн		рооп	ава,			И И
	ицы		овещ	гид			ИЗВ
			ения	ран			еща
				ТЫ			тел
							И

5.4.3 Организационные (организационно-технические) мероприятия по предотвращению пожара.

Таблица 5.6 – Организационные (организационно-технические) мероприятия по обеспечению пожарной безопасности.

Наименование	Наименование	Предъявляемые
--------------	--------------	---------------

технологического	видов	требования по
процесса,	реализуемых	обеспечению
оборудования	организационных	пожарной
технического объекта	(организационно-	безопасности,
	технических)	реализуемые эффекты
	мероприятий	
Токарный станок с	Проведение	Запрет на курение и на
числовым	инструктажа по	применение открытого
программным	пожарной	огня в цехе.
управленем	безопасности.	Применение средств
16Б16Т1С1	Применение	автоматического
	автоматических	оповещения и
	приборов	пожаротушения в
	оповещения.	цехе. Расклейка
		запрещающих знаков
		на участке.
Продолжение табл. 5.6		
	Контроль	
	правильной	

Контроль правильной эксплуатации оборудования.

5.5 Обеспечение экологической безопасности рассматриваемого технического объекта.

Таблица 5.7 – Идентификация экологических факторов технического объекта.

Наименова	Структурные	Воздей	Воздейст	Воздействие
ние	составляющие	ствие	вие	техническог
техническ	технического	технич	техническ	о объекта на
ОГО	объекта,	еского	ОГО	литосферу
объекта,	технологическ	объект	объекта	(почву,
технологи	ого процесса	а на	на	растительны
ческого	(производстве	атмос	гидросфе	й покров,
процесса	нного здания	феру	py	недра)
	или	(вредн	(образую	(образование
	сооружения	ые и	щие	отходов,
	по	опасн	сточные	выемка
	функциональн	ые	воды,	плодородног
	ому	выбро	забор	о слоя
	назначению,	сы в	воды из	почвы,
	технологическ	окруж	источник	отчуждение
	ие операции,	ающу	ОВ	земель,

	оборудование)	Ю	водоснаб	нарушение и
	,	среду)	жения)	загрязнение
	энергетическа			растительно
	я установка			го покрова и
	транспортное			т.д.)
	средство и т.п.			
Черновое	Токарный	Газ от	Использо	Попадание
точение	станок с	испаре	ванная	использован
	числовым	ния	СОЖ	ной СОЖ в
	программным	СОЖ		почву.
	управленем			Попадание
	16Б16Т1С1			стружки в
				почву.

Разработка мероприятий по снижению негативного антропогенного воздействия на окружающую среду рассматриваемого технического объекта.

Таблица 5.8 – Разработанные организационно-технические мероприятия по снижению негативного антропогенного воздействия технического объекта на окружающую среду.

Наименование технического	Чистовое точение
объекта	
Мероприятия по снижению	Для уменьшения попадания газов
негативного антропогенного	смазочно-охлаждающей жидкости
воздействия на атмосферу	в атмосферу увеличена мощность
	работы вентиляции на рабочем
	месте
Мероприятия по снижению	Применение централизованного
негативного антропогенного	сбора и утилизации стружки.
воздействия на гидросферу	
Мероприятия по снижению	Соблюдение на предприятии
негативного антропогенного	хранения и регулярности
воздействия на литосферу	утилизации отходов. Возможность
	использования стружки для
	производства новых заготовок.

5.6 Заключение.

В результате выполненной работы нами выявлены опасные и вредные факторы разработанного производственные технического объекта. Спроектирован перечень необходимых мероприятий и средств для бесперебойной безопасной осуществления работы на участке обработки. Разработаны мероприятия по снижению механической антропогенного воздействия окружающую негативного на среду рассматриваемого технического объекта.

6 ЭКОНОМИЧЕСКАЯ ЭФФЕКТИВНОСТЬ РАБОТЫ

Цель раздела — рассчитать технико-экономические показатели проектируемого технологического процесса и произвести сравнительный анализ с показателями базового варианта, определить экономический эффект от предложенных в проекте технических решений.

Рассмотрим предлагаемые совершенствования на предмет экономической обоснованности внедрения изменений в ТП изготовления детали «Вал привода». Подробная информация, касающаяся технологического процесса, рассмотрена в предыдущих разделах, поэтому считаем необходимым указать только отличия между сравниваемыми вариантами процесса изготовления этой детали.

Базовый вариант.

Операция 020 предполагает обработку заготовки на токарном станке с числовым программным управлением 16Б16Т1С1. Заготовка закрепляется в трехкулачковый самоцентрирующий патрон ГОСТ 2675-80. Обработка ведется двумя резцами из твердого слава Т15К6, затем сверлится центральное отверстие спиральным сверлом из быстрорежущей стали P6M5, а потом эта внутренняя поверхность растачивается расточным резцом из P6M5.

Проектный вариант.

Отличительной особенностью выполнения операции 020 в проектном варианте является применяемое приспособление — патрон трехкулачковый с пневоприводом, что позволяет сократить вспомогательное время операции 1,08 мин до 0,71 мин. Благодаря этим изменениям достигли снижения и общей трудоемкости выполнения всей операции с 1,98 мин до 1,30 мин.

Учитывая описанные изменения, осуществим экономические расчеты, которые позволят сделать обоснованное заключение о целесообразности внедрения данного предложения.

Краткое описание предлагаемых изменений позволяют рассчитать необходимые капитальные вложения в проектируемый вариант технологического процесса. Используя методику расчета капитальных вложений [21] определяем данную величину, которая составляет $K_{BB.\Pi P} = 12657,47$ руб. Эти денежные средства потребуются нам на приобретение нового приспособления и затраты, связанные с проектированием технологического процесса.

Учитывая то, что метод получения заготовки и ее материал по вариантам остался неизменным, поэтому расчет значений технологической себестоимости будем проводить без затрат на материал, т.к. эти значения существенного влияния на конечный результат не оказывают.

На базе полученных данных и с применением методики составления калькуляции полной себестоимости [21] мы рассчитываем её значения для выполнения операции токарной чистовой. Согласно расчетам по базовому варианту полная себестоимость составила 36,21 руб.; а по проектному варианту — 34,07 руб.

Далее проведем экономическое обоснование предложенных изменений. Для этого будем использовать методику расчета показателей экономической эффективности [21].

$$\Pi_{P.O\mathscr{K}} = \mathcal{G}_{V\Gamma} = \mathfrak{C}_{\Pi O \Pi \mathfrak{G} A3} - C_{\Pi O \Pi \mathfrak{G} P} \Pi_{\Gamma} py \delta. \tag{6.1}$$

 $\Pi_{P.O.K} = \mathcal{O}_{VT} = \{6,21-34,07\}$ 5000 = 10700 py6.

$$H_{\Pi P H B} = \Pi_{P,OW} \cdot K_{HAJI} \ py \delta. \tag{6.2}$$

 $H_{\text{ПРИБ}} = 10700 \cdot 0.2 = 2140 \text{ pyb.}$

$$\Pi_{P.\Psi MCT} = \Pi_{P.O \mathcal{K}} - H_{\Pi P M \mathcal{E}} \ py \delta. \tag{6.3}$$

 $\Pi_{P.YMCT} = 10700 - 2140 = 8560$ pyő.

$$T_{OK.PACY} = \frac{K_{BB.\Pi P}}{\Pi_{P,HHCT}} + 1, \ coda$$
 (6.4)

$$T_{OK.PACY} = \frac{12657,47}{8560} + 1 = 2,48 = 3 \ \textit{coda}$$

$$\mathcal{A}_{\mathcal{A}\mathcal{U}CK.OGUU} = \Pi_{P.\mathcal{Y}\mathcal{U}CT.\mathcal{A}\mathcal{U}CK}(T) = \sum_{1}^{T} \Pi_{P.\mathcal{Y}\mathcal{U}CT} \cdot \frac{1}{(1+E)^{t}}, \quad py6.$$
 (6.5)

$$\mathcal{A}_{OBIU.\mathcal{A}UCK} = \Pi_{P.YHCT.\mathcal{A}UCK}(T) = 8560 \cdot \left(\frac{1}{\P + 0.15} + \frac{1}{\P + 0.15}\right) = 19544,41 \ py6$$

$$\Theta_{\text{ИНТ}} = \mathcal{Y} \mathcal{I} \mathcal{I} = \mathcal{I}_{\text{ОБЩ-ДИСК}} - K_{BB.\Pi P} \text{ руб.}$$
 (6.6)

 $\Theta_{HHT} = \Psi \mathcal{I} \mathcal{I} \mathcal{I} = 19544,41 - 12657,47 = 6866,94$ py6.

$$U\mathcal{I} = \frac{\mathcal{I}_{OBIU,\mathcal{I}HCK}}{K_{RR,\Pi P}} \frac{py\delta.}{py\delta.}$$
 (6.7)

$$UU = \frac{19544,41}{12657,47} = 1,54 \frac{py6.}{py6}.$$

Предлагаемые изменения по операции 020 Токарной чистовой техпроцесса изготовления детали «Вал привода», можно считать экономически целесообразными. Данное заключение можно сделать основываясь, во-первых, на том, что достигнуто снижение себестоимости выполнения данной операции на 13,4%. А во вторых, интегральный экономический эффект от изменений, согласно расчетам, составил 6866,94 руб., что также свидетельствует эффективности принятых решений.

ЗАКЛЮЧЕНИЕ

В результате проделанной работы нами разработан технологический процесс изготовления вала привода ленточного конвейера. Техпроцесс оснащен современным оборудованием и технологическими средствами. На две операции техпроцесса разработаны технологические наладки.

Для базирования заготовки на 020 Токарной чистовой операции спроектирован автоматизированный патрон.

Для обработки отверстия на 040 Протяжной операции разработана конструкция круглой протяжки.

Техпроцесс сопровождается технологической документацией.

В работе проведен анализ безопасности и экологичности технического объекта.

Экономический расчет показал эффективность выполненной работы.

СПИСОК ИСПОЛЬЗУЕМОЙ ЛИТЕРАТУРЫ

- 1. Марочник сталей и сплавов / сост. А. С. Зубченко [и др.]; под ред. А. С. Зубченко. 2-е изд., перераб. и доп. Москва: Машиностроение, 2003. 782 с.
- 2. Горбацевич, А.Ф. Курсовое проектирование по технологии машиностроения: учебное пособие для вузов/ А.Ф. Горбацевич, В.А. Шкред. М: ООО ИД «Альянс.», 2007 256 с.
- 3. Ковшов, А. Н. Технология машиностроения : учеб. для вузов / А. Н. Ковшов. Изд. 2-е, испр. ; Гриф УМО. Санкт-Петербург [и др.] : Лань, 2008. 319 с.
- 4. Маталин А. А. Технология машиностроения : учеб. для студ. вузов, обуч. по спец. 151001 напр. "Конструкторско-технологическое обеспечение машиностроит. производств" / А. А. Маталин. Изд. 3-е, стер. ; Гриф УМО. Санкт-Петербург [и др.] : Лань, 2010. 512 с.
- 5. Козлов, А.А. Кузьмич, И.В. Разработка технологических процессов изготовления деталей машин: учеб.-метод. пособие по выполнению курсовых проектов по дисциплине «Основы технологии машиностроения» для студентов спец. 151001 «Технология машиностроения» / сост. А.А. Козлов, И.В. Кузьмич. Тольятти: ТГУ, 2008. 152 с.
- 6. Афонькин, М.Г. Производство заготовок в машиностроении. / М.Г. Афонькин, В.Б. Звягин 2-е изд., доп. и пер.ера. СПб: Политехника, 2007 380с.
- 7. Справочник технолога-машиностроителя. В 2 т. Т. 1 / А. М. Дальский [и др.]; под ред. А. М. Дальского [и др.]. 5-е изд., испр. Москва: Машиностроение-1, 2003. 910 с.
- 8. Справочник технолога-машиностроителя. В 2 т. Т. 2 / А. М. Дальский [и др.]; под ред. А. М. Дальского [и др.]. 5-е изд., испр. Москва: Машиностроение-1, 2003. 941 с.

- 9. ГОСТ 7505 89. Поковки стальные штампованные. Допуски, припуски и кузнечные напуски. 36 с.
- 10. Режимы резания металлов : справочник / Ю. В. Барановский [и др.] ; под ред. А. Д. Корчемкина. 4-е изд., перераб. и доп. Москва : НИИТавтопром, 1995. 456 с.
- 11. Станочные приспособления : справочник. В 2 т. Т. 1 / редсовет: Б. Н. Вардашкин (пред.) [и др.] ; ред. тома Б. Н. Вардашкин [и др.]. Москва : Машиностроение, 1984. 592 с.
- 12. Станочные приспособления : справочник. В 2 т. Т. 2 / редсовет: Б. Н. Вардашкин (пред.) [и др.] ; ред. тома Б. Н. Вардашкин [и др.]. Москва : Машиностроение, 1984. 655 с.
- 13. Резников Л. А. Проектирование сложнопрофильного режущего инструмента [Электронный ресурс] : электрон. учеб. пособие / Л. А. Резников ; ТГУ ; Ин-т машиностроения ; каф. "Оборудование и технологии машиностроит. пр-ва". Тольятти : ТГУ, 2014. 207 с.
- 14. Шагун, В. И. Металлорежущие инструменты : учеб. пособие для студ. вузов / В. И. Шагун. Гриф УМО. Москва : Машиностроение, 2008. 423 с.
- 15. ГОСТ 19265-73. Прутки и полосы из быстрорежущей стали. 22 с.
- 16. ГОСТ 1050-88. Прокат сортовой, калиброванный, со специальной отделкой поверхности из углеродистой качественной конструкционной стали. 85 с.
- 17. ГОСТ 4543-71. Прокат из легированной конструкционной стали. 68 c.
- 18. Козлов, А. А. Проектирование механических цехов [Электронный ресурс] : электрон. учеб.-метод. пособие / А. А. Козлов ; ТГУ ; Ин-т машиностроения ; каф. "Оборудование и технологии машиностроит. прва". Тольятти : ТГУ, 2015. 47 с.

- 19. Горина, Л. Н. Раздел выпускной квалификационной работы «Безопасность и экологичность технического объекта». Уч.-методическое пособие. / Л. Н. Горина Тольятти: изд-во ТГУ, 2016. 33 с.
- 20. Бычков, В.Я. Безопасность жизнедеятельности. Учебное пособие. [Электронный ресурс] : учебное пособие / В.Я. Бычков, А.А. Павлов, Т.И. Чибисова. Электрон. дан. М. : МИСИС, 2009. 146 с.
- 21. Зубкова, Н.В. Методические указания по экономическому обоснованию курсовых и дипломных работ по совершенствованию технологических процессов механической обработки деталей / Н.В. Зубкова Тольятти : ТГУ, 2005. 39 с.

ПРИЛОЖЕНИЯ

Взам.		-
Подп.		
	паботал Хижняков	
Προδι	<i>ТГУ</i> Кафедра ОТМП	
	ердил Рад привода	T
<i>Н. ко</i> л Мо1	онтр Сталь 19ХГН ГОСТ 4543—71	10.00
	Код EB МД EH Н. росх. КИМ Код заготовки Профиль и размеры КД МЗ	
M02	1,66 0,53 1 0,41 41211X ø51,5x164 1 1,3	
Α	Цех 94 РМ Опер Код наименование операции Обозначение документа	一
Б	Код, наименование оборцдования СМ проф. Р УТ КР КОИД ЕН ОП Кшт Тпоз XX XX XX 000 4280 Заготовительная XXXXX ИОТ ИЗ 7.101.XXXX—XX	
A03	FKWA	
604 05	771077	
A06	XX XX XX 005 4269 Центровально-подрезная ИОТ ИЗ7.101.XXXX-XX	
507	38.18.25 XXXX 2A911-1 2 18632 422 1P 1 1 1 100 1 16	
0.08	Подрезать два торца, выдерживая длину 160±0,5; центровать два торца, выдерживая	
0 09	ДАЗМЕДЫ 60 ⁰ ±15′; 9,85 ^{-0,27} ; \$10,6 ^{-0,16} ; \$5 ^{-0,12} .	
T 10	391267. XXXX(2) центровочное сверло тип А Р6М5 ГОСТ 14952-82; XXXX Пластина торцовая Т5К7	10/2
+ 44	391267 Сверло 2301–1748 ГОСТ 22736–77(2). 393311. ХХХХ-ШЦ-І-150-0,1; 393550 Специальный шай	วิกอห
T 11		
12		
	XX XX XX 010 4112 Токарная черновая ИОТ ИЗ7.101.7001-93.	

	Aug 2
	Лист 2
Б	Цех Уч РМ Опер Код наименование операции Обозначение документа Код наименование оборидования СМ гроф. Р УТ КР КОИД ЕН ОП Кшт Тпоз Тит
T 19	396110 XXXX Патрон самоцентр.; 392841.XXXX Центр вращающийся; XXXXXXXX упор откидной;
T 20	392104.XXXX(2) Резец механич. Т5К10; 393111.XXXX ШЦ-II-350-0,1; 393120.XXXX(2) Калибр-скоба.
21	SYETO THINKING, TEELS THENDING, SYSTHAMINT BY IT SEE 6,1, SYSTEEMANNIE, HANDER ENOUG.
A 22	XX XX XX 015 4112 Токарная черновая ИОТ ИЗ7.101.7001–93.
Б 23	381.111 XXXX 16516T1C1 2 18225 422 1P 1 1 1 100 1 8 0.36
0 24	Точить поверхности, выдерживая размеры Ø26,5 _{.052} ; 125±0,5; Ø31,5 _{.062} ; Ø25,65 _{.052} .
T 25	396110 ХХХХ Патрон самоцентр.; 392841.ХХХХ Центр вращающийся; ХХХХХХХХХХ цпор откидной;
T 26	392104.XXXX(2) Резец механич. Т5К10; 393111.XXXX ШЦ-II-350-0,1; 393120.XXXX(2) Калибр-скоба.
27	
A 28	XX XX XX 020 4112 Токарная чистовая ИОТ ИЗ7.101.7001-93.
Б 29	381.111 XXXX 16516T1C1 2 18225 422 1P 1 1 1 100 1 8 5,52
0 30	Точить поверхности, выдерживая размеры Ø48_nns2; 92±0,435; Ø26_nns2; 125±0,5; Ø31_ns2;
0 31	Ø25,2 _{.0.052} ; 160±0,5, выполнить R4, сверлить отв. Ø19 ^{+0,52} на длину 71,5±0,2, точить поверхности,
0 32	выдерживая размеры Ø19 ^{+0,32} и R2, выполнить фаску 1,5x30°.
T 33	396110 ХХХХ Патрон самоцентрир.; 392841.ХХХХ Центр упорный; ХХХХХХХХХ упор откидной;
T 34	392104.XXXX(2) Резец механич. Т5К10; 393111.XXXX ШЦ-II-350-0,1; 393120.XXXX(2) Калибр-скоба.
35	
A 36	XX XX XX 025 4112 Токарная чистовая ИОТ ИЗ7.101.7001-93.
Б 37	381.111 XXXX 16516T1C1 2 18225 422 1P 1 1 1 100 1 8 5
0 38	Точить поверхности, выдерживая размеры Ø26 _{0.52} ; 92,3±0,37; Ø31 _{0.62} ; 98,6±0,435; Ø25,5 _{0.052, 102}
0 39	выполнить R4, выполнить фаску 1x45°, сверлить атв. Ø19°°°°° на длину 5±0,2, отв. Ø85°°°° на длину 25°°°,
0 40	точить поверхность, выдерживая размеры \varnothing 19 $^{+0.32}$; R2; выполнить фаску 1,5х30 $^{\circ}$.
T 41	396110 XXXX Патрон самоцентр.; 392841.XXXX Центр вращающийся; XXXXXXXX упор откидной;
MK	

	Λυσ	$/\!\!/\!\!/$
А	Цех Уч РМ Опер Кой, наименование операции Обозначение документа	_
Б	Кой, ноименование оборудования СМ проф. Р УТ КР КОИД ЕН ОП Кит Thas Tu	JM
T 42	392104.XXXX(2) Резец механич. Т5К10; 393111.XXXX ШЦ-II-350-0,1; 393120.XXXX(2) Калибр-скоба.	_
43		_
A 44	XX XX XX 030 4272 Зубофрезерная ИОТ ИЗ7.101.XXXX-XX	
Б 45	381.631 XXXX 5K32A Зубофрезерн. 2 18632 322 1P 1 1 1 100 1 16 .	2, 1
0 46	Фрезеровать прямые зцбья т = 2 мм, z = 22.	
T 47	396181.ХХХХ приспособление самоцентр.; ХХХХХХХХ(4) патрон ценговый; 391822.ХХХХ Фреза	
T 48	червячная Р6М5 т=2; 393111.ХХХХ ШЦ-II-100-0,05; 393120.ХХХХ Калибр.	
49		
A 50	XX XX XX 033 4121 Сверлильная ИОТ ИЗ7.101.7015-00.	_
Б 51	381213 XXXX 2P135Ф2-1 Вертсверл. 2 322 1P1 1 1 100 1 5 0,48	9
n 52	Сверлить 2 отверстия, выдерживая размеры Ø5 ^{+0,3} ; 50±0,31; 60±0,37.	_
0 02	396181.ХХХХ Приспособление самоцентр., ХХХХХХХХХХ(4) Сменные призмы; 391267.ХХХХ Сверло	_
T 53	P6M5: 393111 WU-II-100-0.05.	_
T 54	ן אין אין אין אין אין אין אין אין אין אי	_
55	XX XX XX 035 4271 Ппотяжная ИОТ ИЗТ 101.7026-02	_
A 56	THE THE WITH COS SECRET PERMITTING TO PROPERTY OF THE PERMITTING THE PERMITTING TO PROPERTY OF THE PERMITTING T	11
Б 57	381623 XXXX 7566, Вертик.—ротяжной. 2 17001 422 IP 1 1 1 100 1 16 2,	
0 58	Протянуть отв. \varnothing 11 $^{*0.010}$ насквозь, протянуть шлицевое отверстие d -6 x 11 H 7 x 14 H 11 x 3 F 10 насквозь.	
T 59	ХХХХХХХХХ Патрон; ХХХХХХХХХХХ Протяжка круглая Р6М5, ХХХХХХХХХ Протяжка шли	ĮE
T 60	P6M5; 393111 Калибр–пробка.	
61		
A 62	XX XX XX 040 Термическая (закалка) ИОТ ИЗ7.101.7071.5-07.	
Б 63	TB4	
64		
ΜK		

																				Nucm
A	Цех 9ч	PM One	р	Код, наимег	нование опер	рации					_			Обозн	эчение д	окцмента				
Б	1/1/ 1/1/	Koð,		вание оборг		. 0	(1		проф.	P	9T	KP	Кои.	Δ El		ОП	Кш	П	Tnos	Twm
A 69	XX XX	XX U4.		AND THE RESERVE	ОШЛИД			101 V	13/.10]1./4	19.1-	<i>JU.</i>								
Б 70	381623	XXXX			14 Цен			2	171	<i>901</i>	422	1P :	1	1	1	100	9	1	10	0,5
0 71	Шлифов	вать це	нтр.	отве	PCMUS.	<u>я, выде</u>	рживи	ая ра	д <i>ЗМ</i> ЕД	Ы 60	± 15'; £	10,6+0,	16							
T 72	393550	Специа	ЛЬНЬ	и шас	блон.															
73																				
A 74	XX XX	XX 04	5 3	บกิดแม	ηυφοβα	7ЛЬНПЯ	и01	T 1137	7.101.7	74 19	1-00.									
Б 75	38131X	XXXX			1 3450			7 17	7003	42	2 1P		1	1	1	100	7	1	120	279
n 76	Maudal	вать зуц						MM 7	7 - 22) KAI	חרר ח	חטטר	ורוחוו	7_R		700			120	2,//
U 70	39611X	XXXX M												$\frac{1}{X}\frac{D}{X}$	XX 4	חחח ח	וואחו	חחוז.		
1 77	308110	XXXX KL														1–200		טחטט,		
T 78												11/ L	TULT	Γ	2/0	-200	1;.			
T 79	<i>シラ4シ۸ハ</i>	(.XXXX <u>[</u>	<u>IUZUI</u>	1ЕР РЕ	<u> </u>	UU; 394	4411.	111/	\ DUE	HUEM	Ψ.									
80	VV VV	VV OF	7 ///	aud al	3 - 71 - 110	- 110	ד מו	101	7/ 10 1	00										
A 81	70171	XX USL			дальна. Т						222	10 1		1	1	100	,	1	10	2 2 2
Б 82	38131X	XXXX	<u>ر</u>	1 161	Торце	кругла	лшлиф	D. Z	188		322	P I	_	/	/	IUL	/	/	10	2,23
0 83	Шлифов	пать not	ерхі	HOCML	i, bude	מלוטאקי	я раз	меры	1 \$25	-0.033	125	3±U,.	5.							
T 84	39611X.)	XXXX Na	троғ	<u> 1 0000</u>	<i>10К0ВЫ</i>	u; 3920	841.X)	XXX	Центр	ם שם	ЩФЮЦ	LUUCS	7; XX.	XXX	X.XX	XX Yr	ם קסו	ППКИ	днои;.	8
T 85	398110.)	YXXX Kp	уг Ш	пифои	<i>Вальны</i>	บ 1 35เ	0x60x	150	14.AF2	74 <i>k5</i> L	7 30	M/C	TOC 1	P 52	2781	-200	7;.			
T 86	393120./	XXXX(2)	CKOC	โฉ บหต	Тикато,	рная; _	3934 <i>1</i> l	O.XXX	XX ML	IKDOM	етр.									
87																				
۸ 88	XX XX	XX 055	· ///	nudol	, Пальна:	Я ЧИСП	повая	ИО	T 1137	1.101.	7419.	1-00.								
5 89	38131X	XXXX			Торце				188		322	1P 1		1	1	100	7	1	10	223
לט ט	Maudoh	amb not									17	93+1	75	•		,00		#	, ,	_,
U 9U	39611X	XXXX Ma	יחחחו	ı nnhr	ndkohu	11. 392	8/1X	XXX	י דבט, וחעם <i>ו</i>	'- 3 7	יוערווון ומרווון	,,,,,,,,,,,,,,,,,,,,,,,,,,,,,,,,,,,,,,	7, XX	XXX	XXX	XX Ur	י חח	וואחוו	dunii.	
	///////////////////////////////////	1/1/1/1 / ////	11111111	1 11111111	IUNUUDII	1 1//	171.///	1/1/1 /	ICHIIII	I UIIII	H = H = H = H = H = H = H = H = H = H =	111111 7	1 /1/1	11/1/1/	1/1/1/	1/1 //	111111	HIMIII	JITULL .	

				Λυςπ
Д	Цех Уч РМ Опер Кой, наименование операции Обозначение докуг	чента.		
5	Код наименование оборидования		Kwm T	nos Twm
T 94		2007;.		
95	₉₅ 393120.XXXX(2) скоба индикаторная; 393410.XXXX Микрометр.			
96	96			
97	97 <i>XX XX XX 060 Шлифовальная ИОТ И37.101.7419.1-00.</i>			
98	98 <i>38131X XXXX 3М193 Круглошлиф. 2 18873 322 1P 1 1 1 100</i>	1	10	2,35
1 99	99 <i>Шлифовать поверхность, быдерживая размер Ф25,05</i> _{0.33} .			
100	100 39611Х.ХХХХ Патрон поводковый; 392841.ХХХХ Центр вращающийся; ХХХХХХХХХХХ	X Ynol	יסחאעסף	HOŪ:.
101	101 398110.XXXX Круг шлифовальный 1 600x60x150 14AF24k5L7 30 м/с ГОСТ Р 52781	V		
102	202120 VVVV/25 cycla hydrygmanuag 202/10 VVVV Myynayaman			
103	· · ·			
10/	104 XX XX XX 065 Шлифовальная ИОТ ИЗТ.101.7419.1-00.			
105	20121V VVVV 20102 V V V V V V V V V V V V V V V V V V V		10	2.35
102	106 Шлифовать поверхность, выдерживая размер 425,05 _{-0.33} .		10	2,22
100	1886 штафоодть твоерхность, обоержавай разпер 923,05 дз. 1877 39611X.XXXX Патрон поводковый; 392841.XXXX Центр вращающийся; XXXXXXXXXX	V Unni	וצוואשט ב	<u>-</u>
107	100 398110.XXXX Гиштрон пововковый, 39204 Г.XXXX ЦЕНТВ оращающався, XXXXXXXXXXX 108 398110.XXXX Круг шлифовальный 1 600x60x150 14AF24k5L7 30 м/с ГОСТ Р 52781			<i>100,.</i>
108	1 303120 VVVVI21 cycloa ywdyyamopyaa 303/10 VVVV Myypomomp	2007;.	OJ.	
109				
110				
111	III XX XX XX 070 Полировальная ИОТ ИЗТ.101.7419.1-00.	1	1 10	2 7/
112		/	10	2,35
113	113 Полировать поверхность, выдерживая размер \$25,000.	17.11		(- 10)
114	114 39611Х.ХХХХ Патрон поводковый; 392841ХХХХ Центр вращающийся; ХХХХХХХХХХХ	K Yno <u>f</u>	omkudi	HOU;.
115			53.192	
116	₁₁₆ 393120.XXXX(2) скоба индикаторная; 393410.XXXX Микрометр; XXXXXXXXX Проф	<i>IU/IOME</i>	гтр.	
1 K	1K I			

